Электрические машины – электромеханические преобразователи энергии

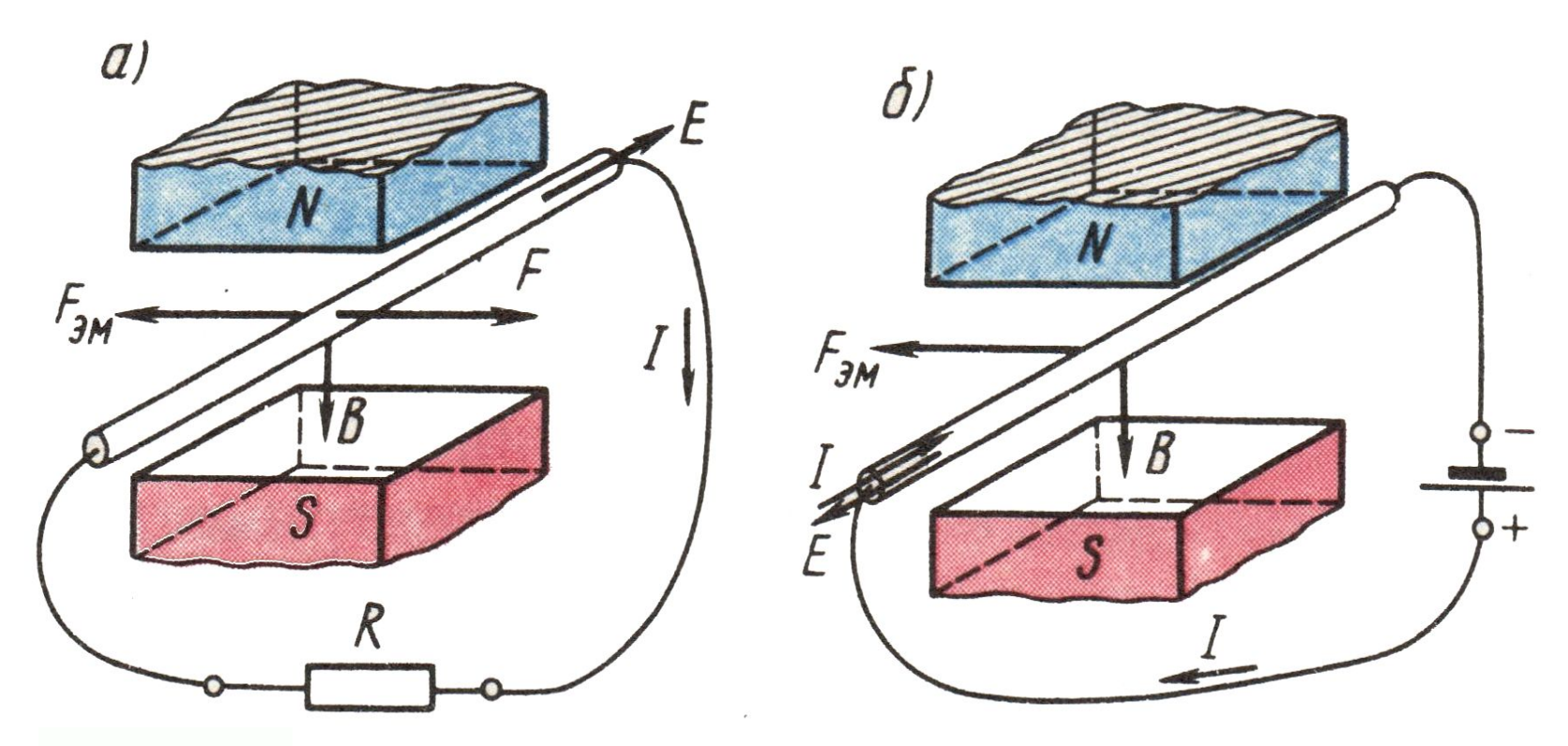


Рис. 1 К понятиям об «элементарном генераторе» (а) и «элементарном двигателе» (б)

Электродвижущая сила (ЭДС)

$$E = B \cdot l \cdot \upsilon, \quad (1)$$

Электромагнитная сила

$$F_{\mathcal{P}M} = B \cdot l \cdot I, \quad (2)$$

Падение напряжения в проводнике:

$$U = E + I \cdot r, \quad (3)$$

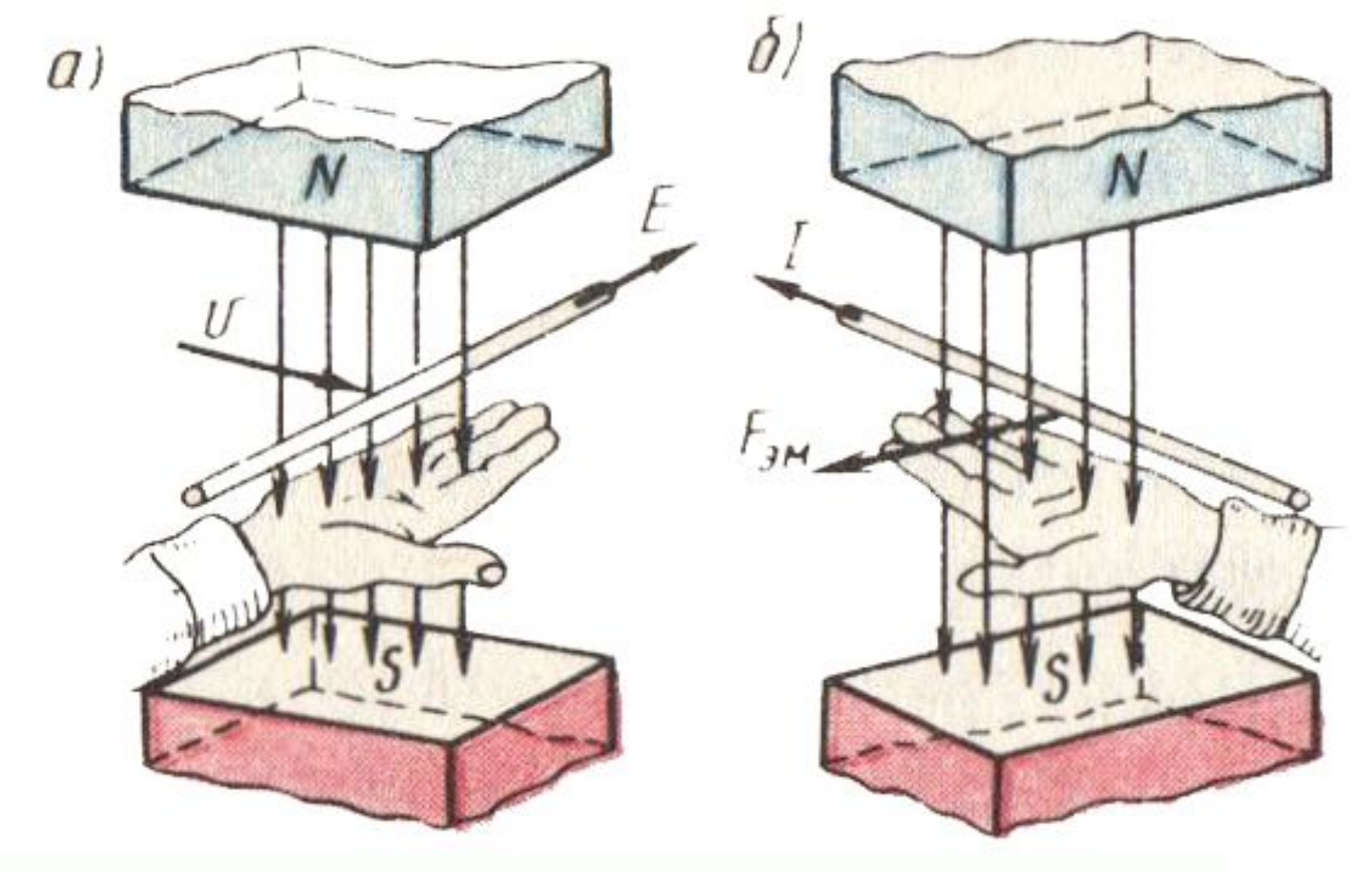


Рис. 2. Правила «правой руки» и «левой руки»

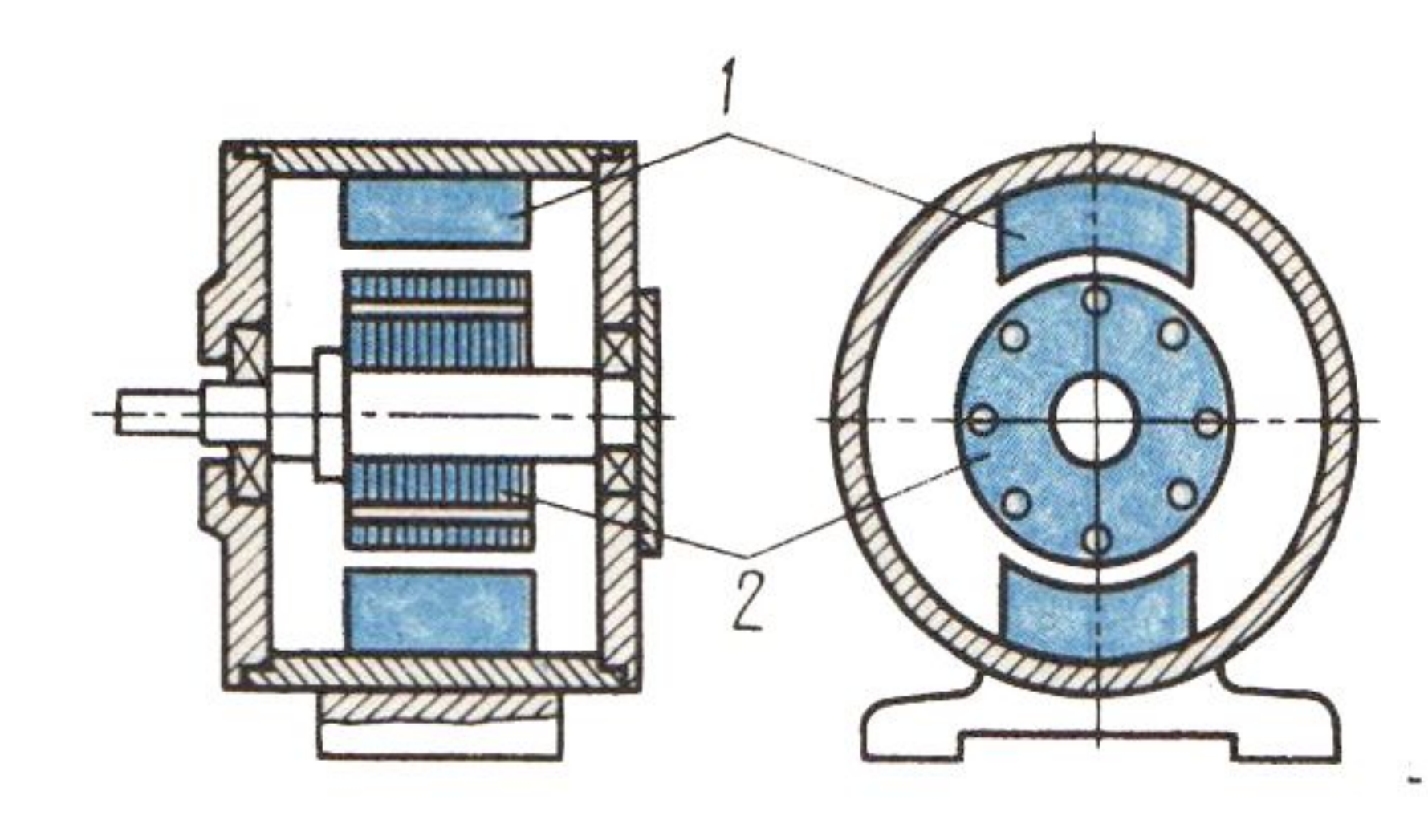


Рис. 3 Обобщенная конструктивная схема электрической машины

Классификация электрических машин

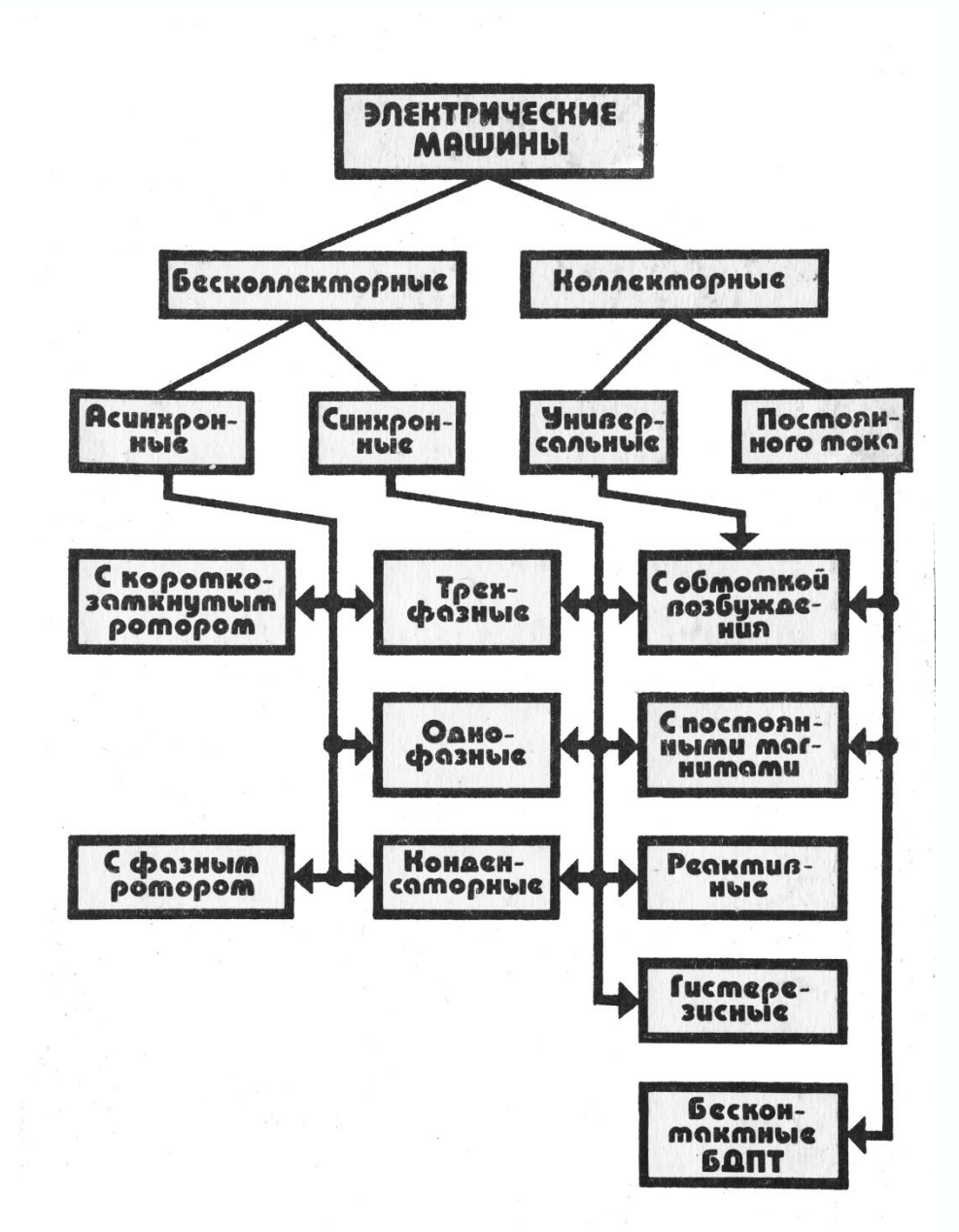


Рис. 4

Устройство машин постоянного тока Принцип действия машин постоянного тока

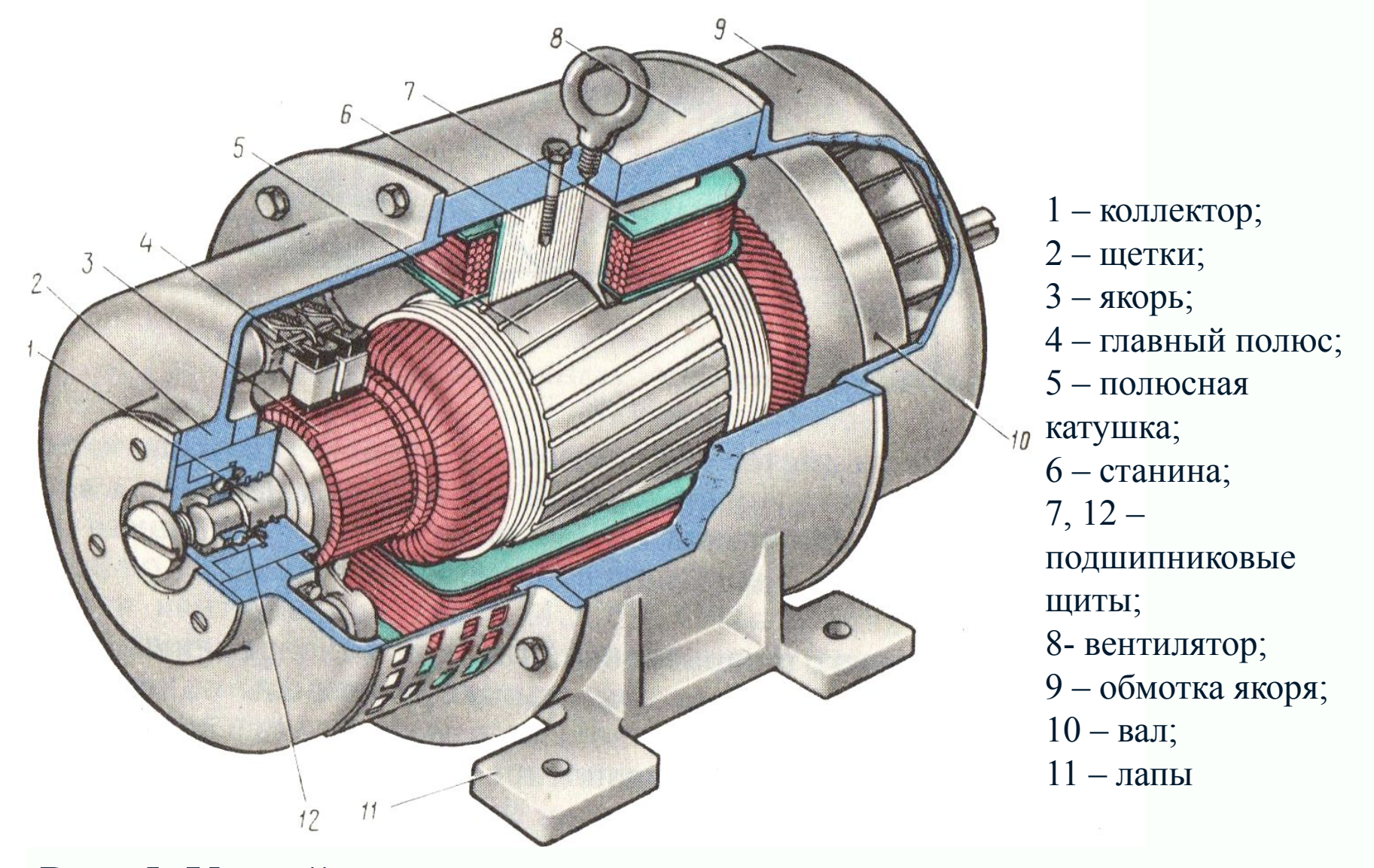
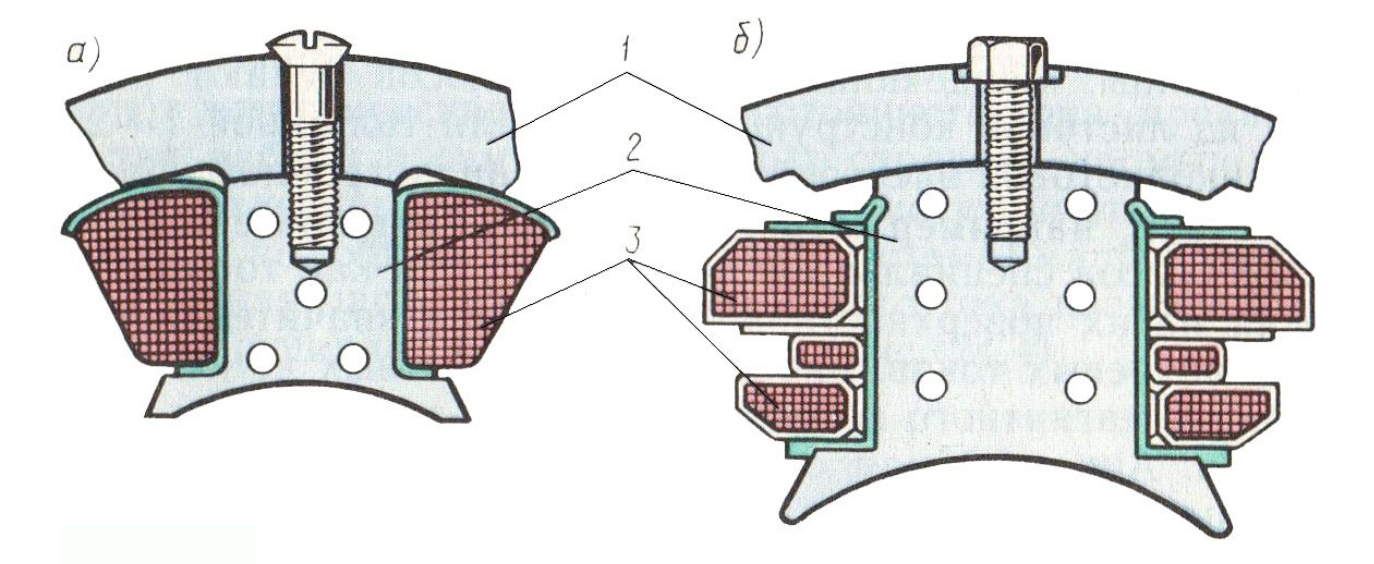
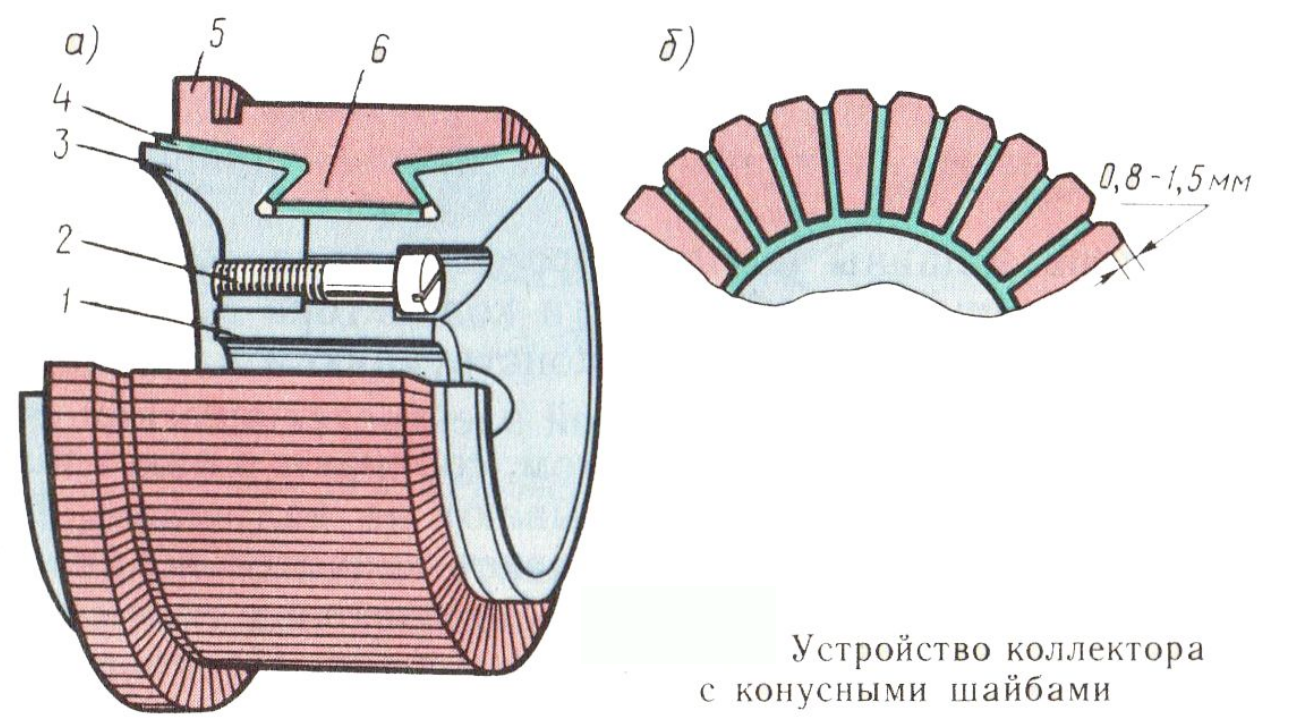


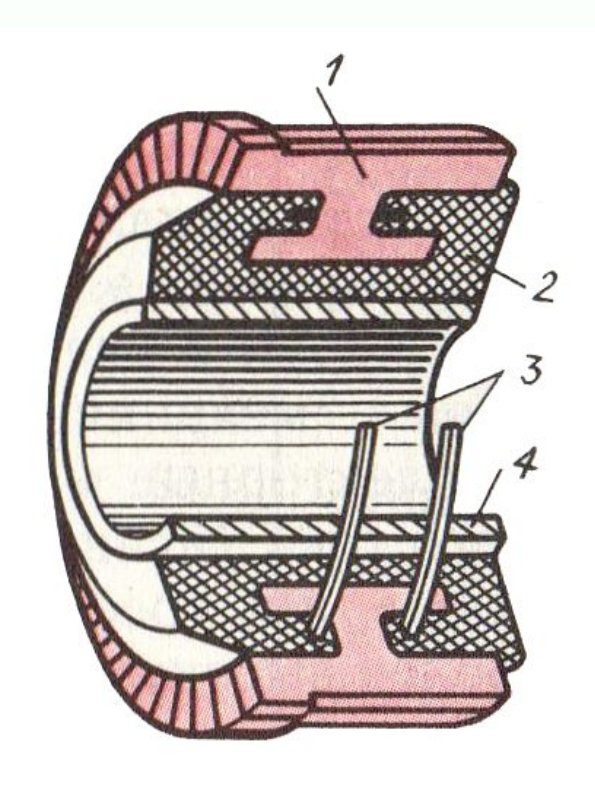
Рис. 5. Устройство машины постоянного тока



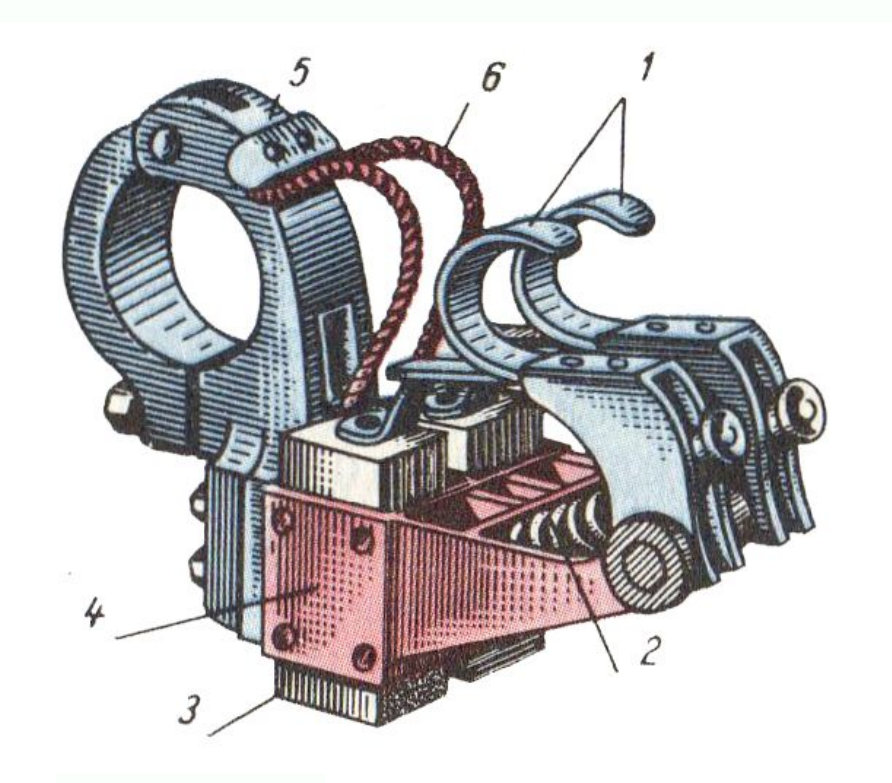
Главные полюсы с бескаркасной (a) и каркасной (б) полюсными катушками:

I — станина; 2 — сердечник полюса; 3 — полюсная катушка





Устройство коллектора на пластмассе



Щеткодержатель (сдвоенный) машины постоянного тока

Магнитный поток Ф

$$\Phi = \frac{I_{e} \cdot W_{e}}{R_{M}} \quad (4)$$

Электромагнитный момент М

$$M = C_{_{M}} \cdot I_{_{\mathcal{B}}} \cdot \Phi \quad (5)$$

ЭДС

$$E = C_E \cdot \Phi \cdot n \quad (6)$$

Ток в обмотке якоря

$$I_{g} = \frac{U - E}{R_{g}} \quad (7)$$

$$U = E + I_g \cdot Rg \quad (8)$$

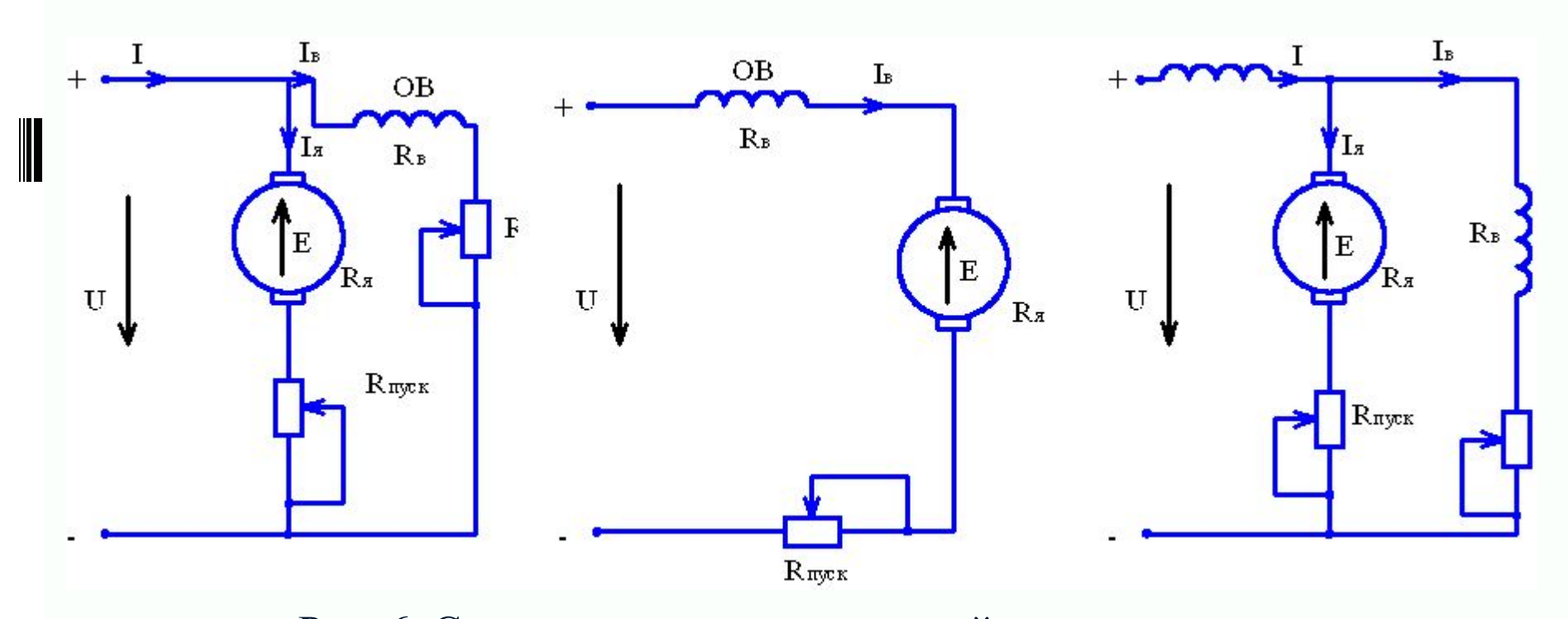


Рис. 6. Схемы включения двигателей постоянного тока: a-c параллельным возбуждением; b-c последовательным; b-c смешанным

Магнитное поле машины постоянного тока Магнитная цепь машины постоянного тока

Магнитодвижущая сила обмотки возбуждения на пару полюсов в режиме х.х. определяется суммой магнитных напряжений на участках магнитной цепи:

$$A_{\hat{a}\hat{i}} = \sum F = 2F_{\delta} + 2F_{z} + 2F_{m} + F_{a} + F_{\ddot{y}} \quad (9)$$

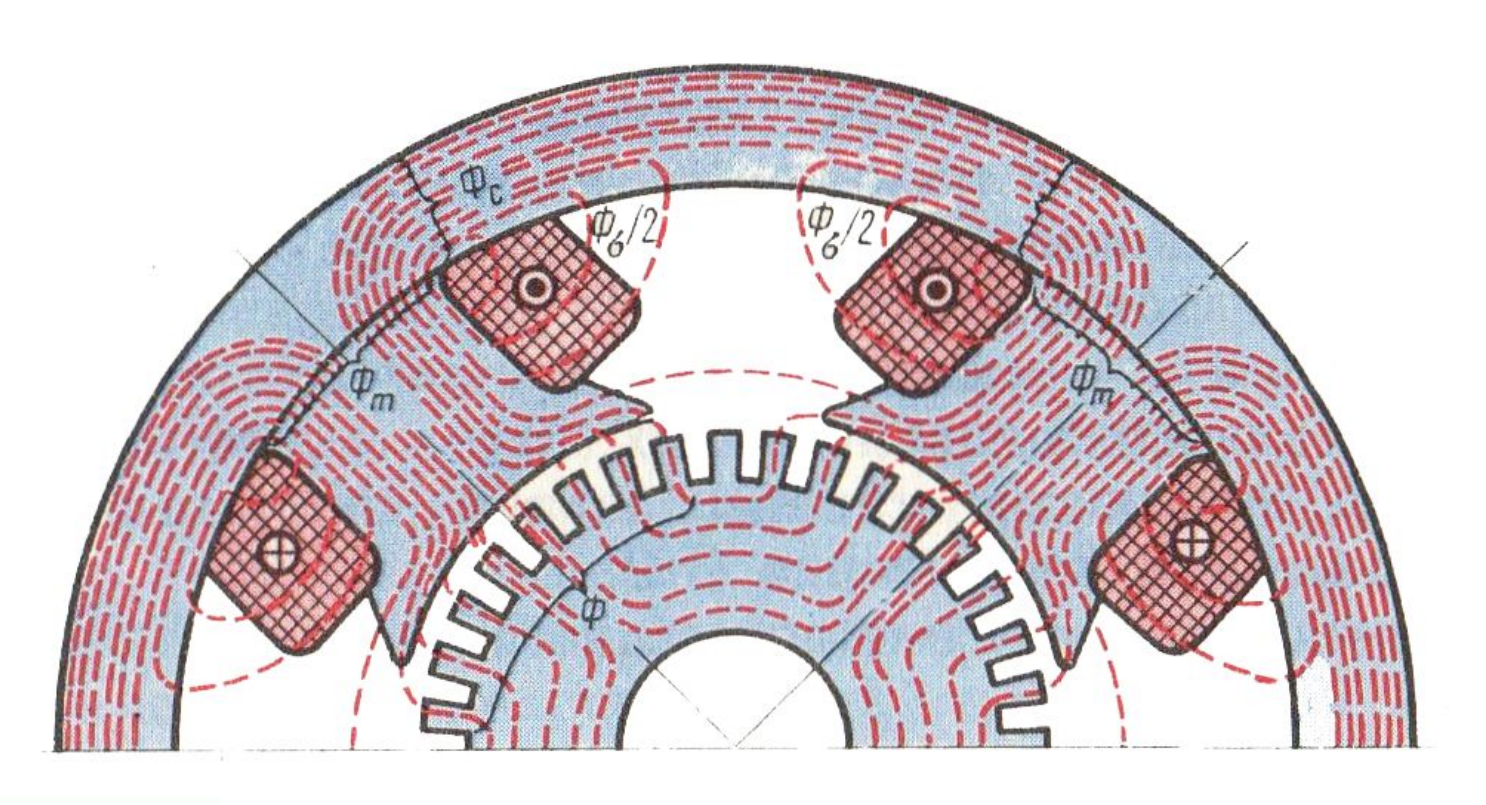


Рис. 7 Магнитное поле машины постоянного тока в режиме х.х.

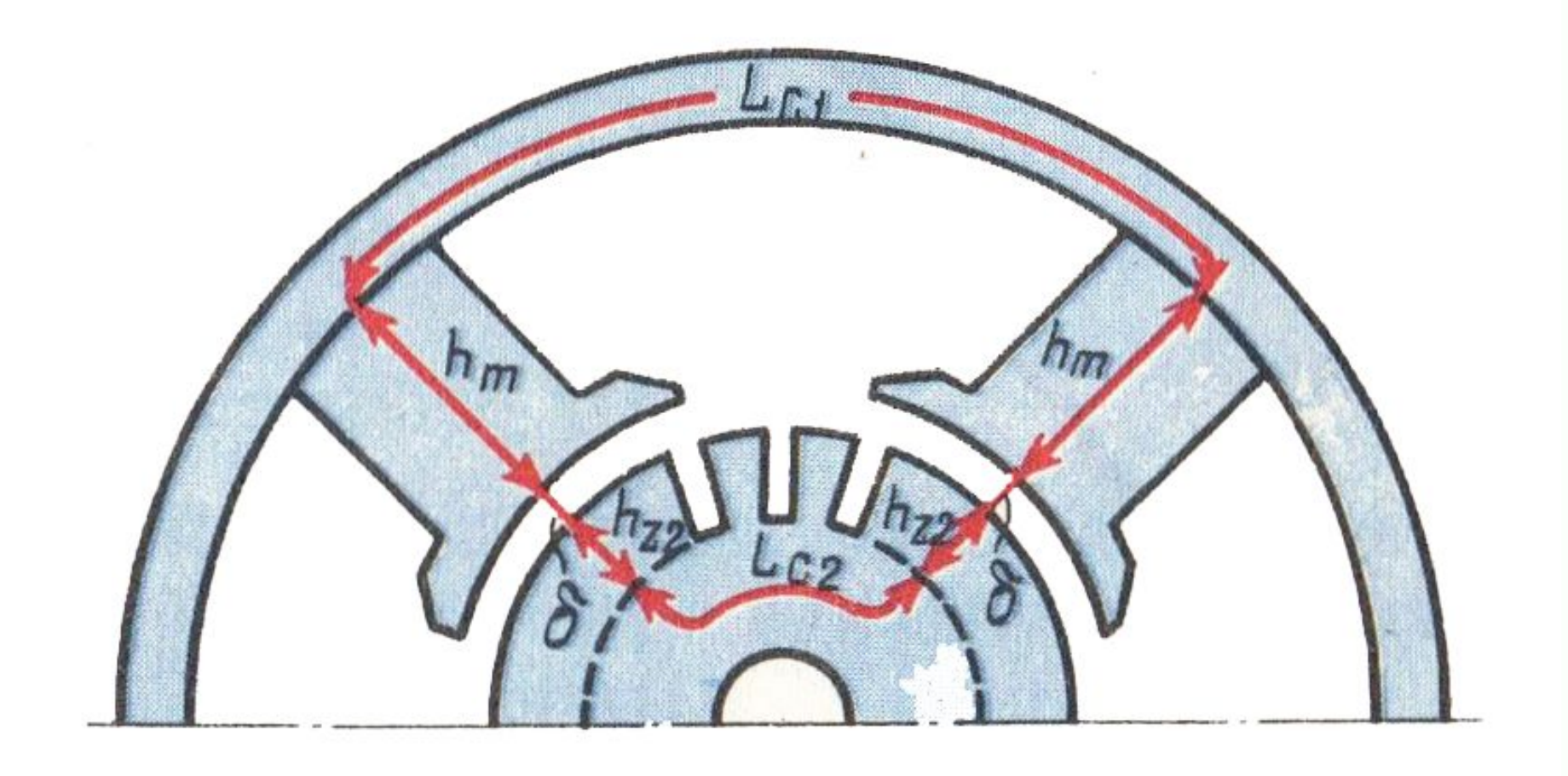
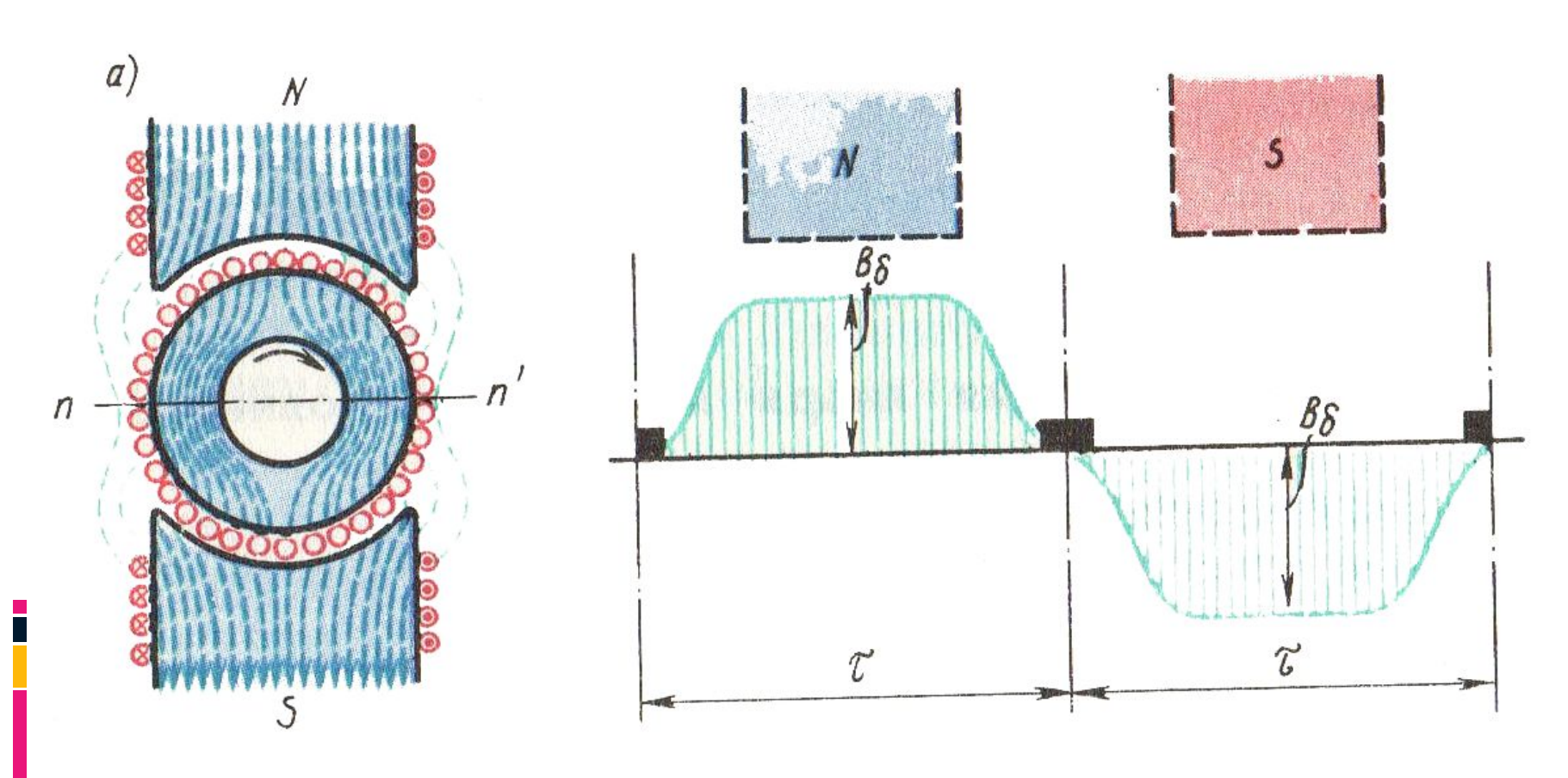


Рис. 8 Расчетный участок магнитной цепи четырехполюсной машины постоянного тока Магнитное напряжение воздушного зазора (A)

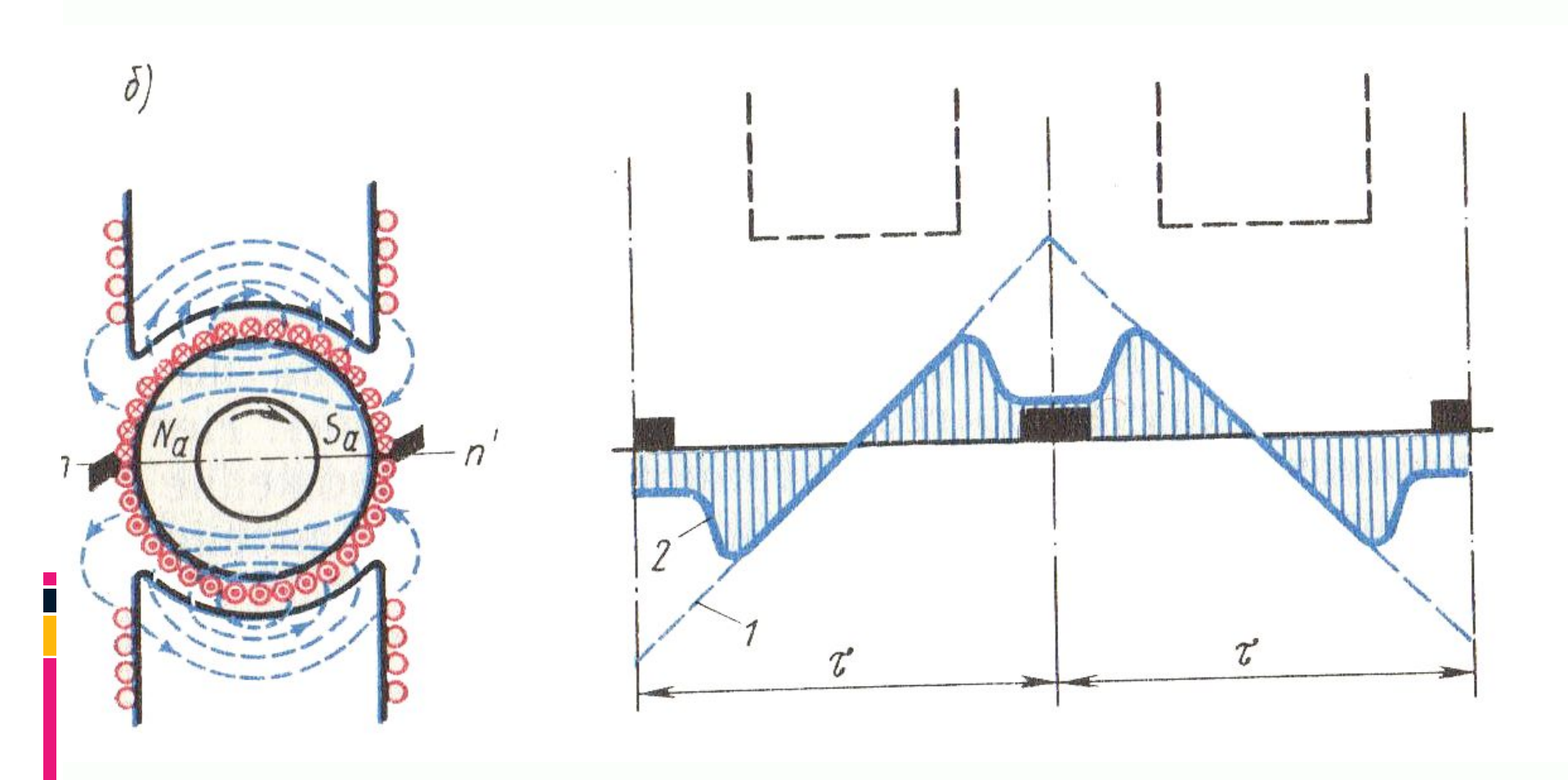
$$F_{\delta} = 0.8 \cdot B_{\delta} \cdot \delta \cdot k_{\delta} \cdot 10^{3} \quad (10)$$

Реакция якоря машины постоянного тока



Магнитное поле машины в этом случае симметрично относительно оси полюсов (рис. 9, a).

Магнитное поле, созданное МДС*, будет иметь вид, представленный на рис. 9, δ .



*МДС - магнитная система машины

Показано распределение магнитных силовых линий результирующего поля машины, работающей в генераторном режиме при вращении якоря по часовой стрелке.

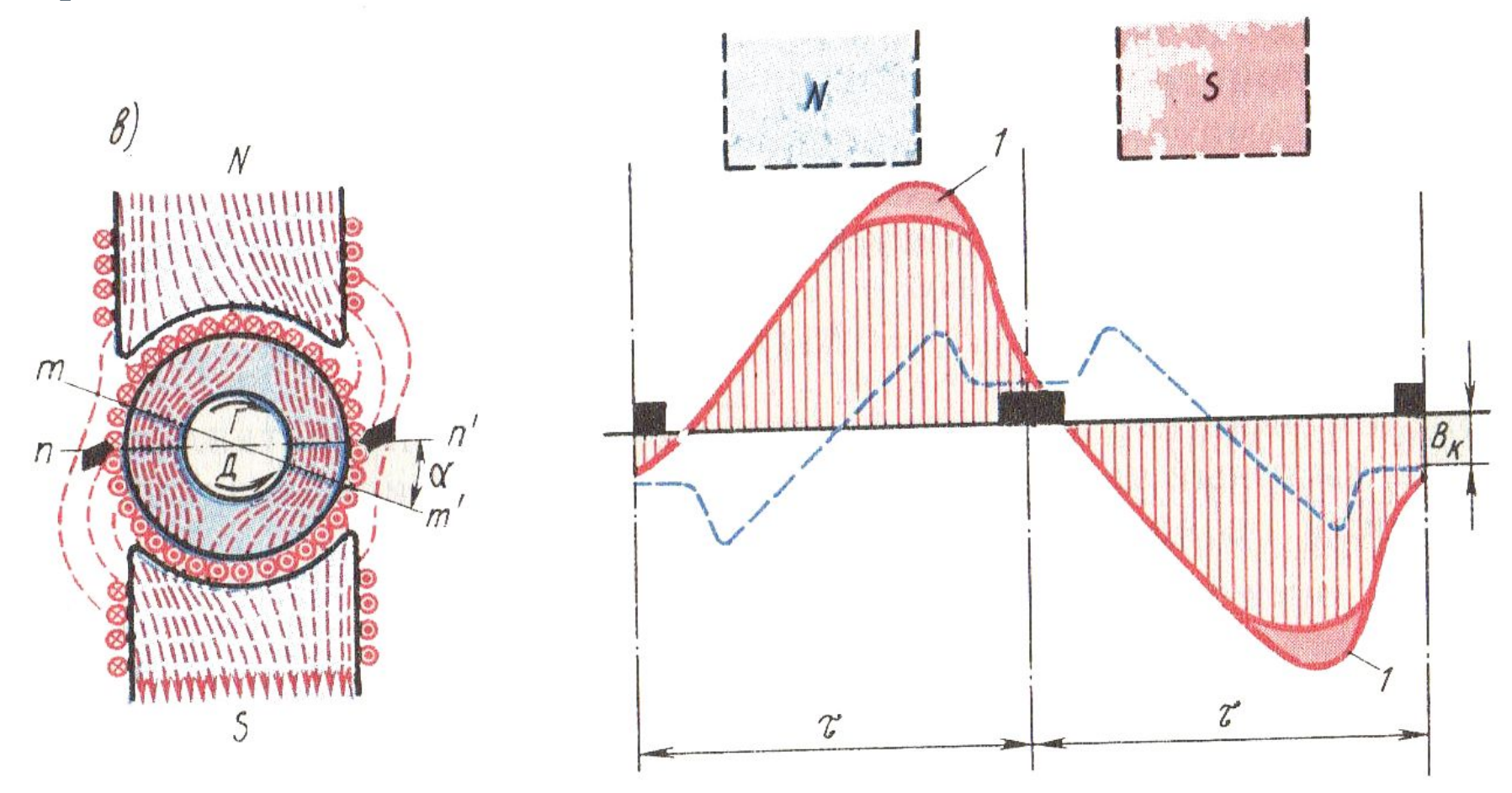


Рис. 9. Магнитное поле машины и распределение магнитной индукции в воздушном зазоре

Способы уменьшения вредного влияния реакции якоря

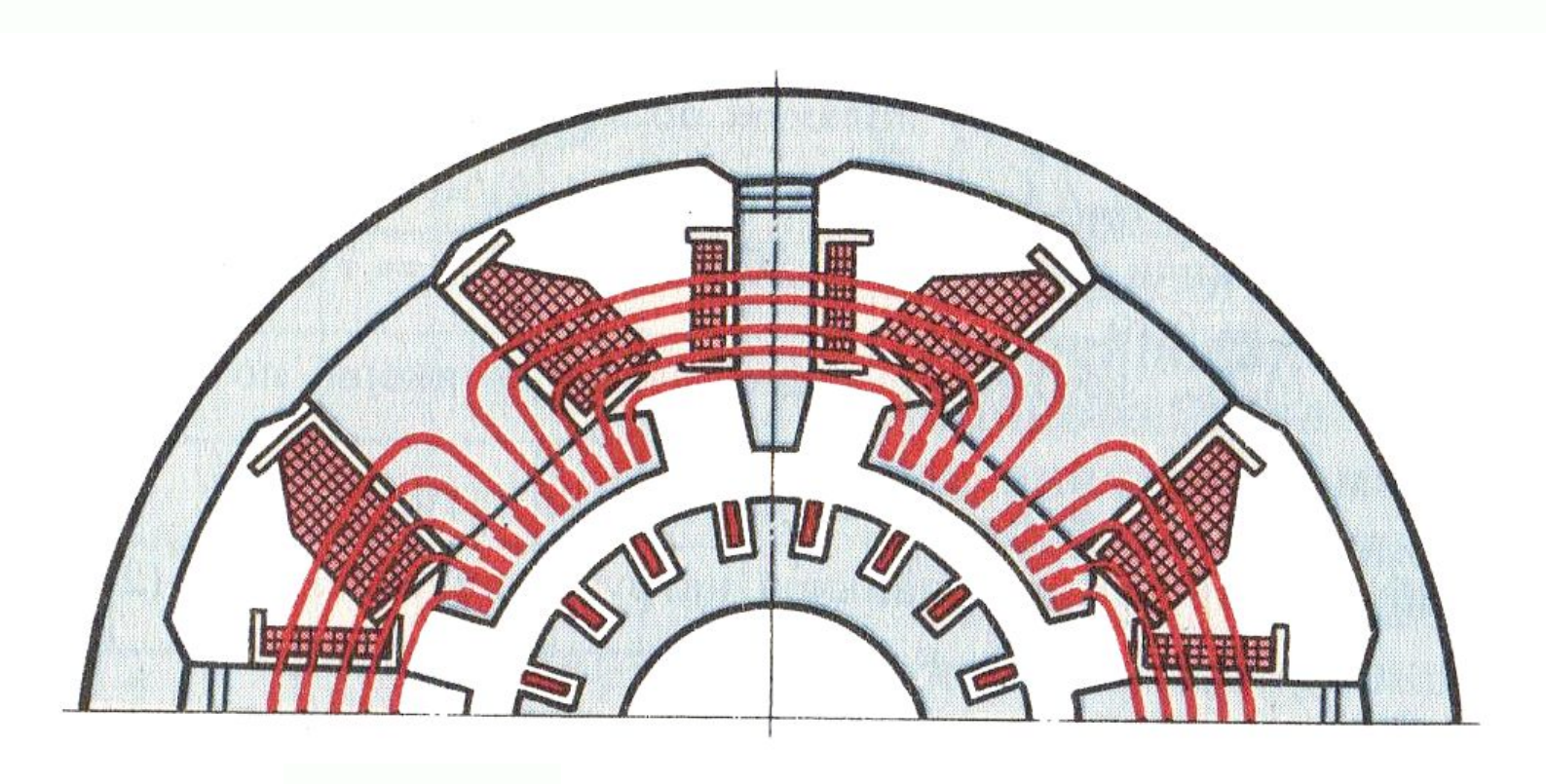


Рис. 10. Компенсационная обмотка

Способы возбуждения машин постоянного тока

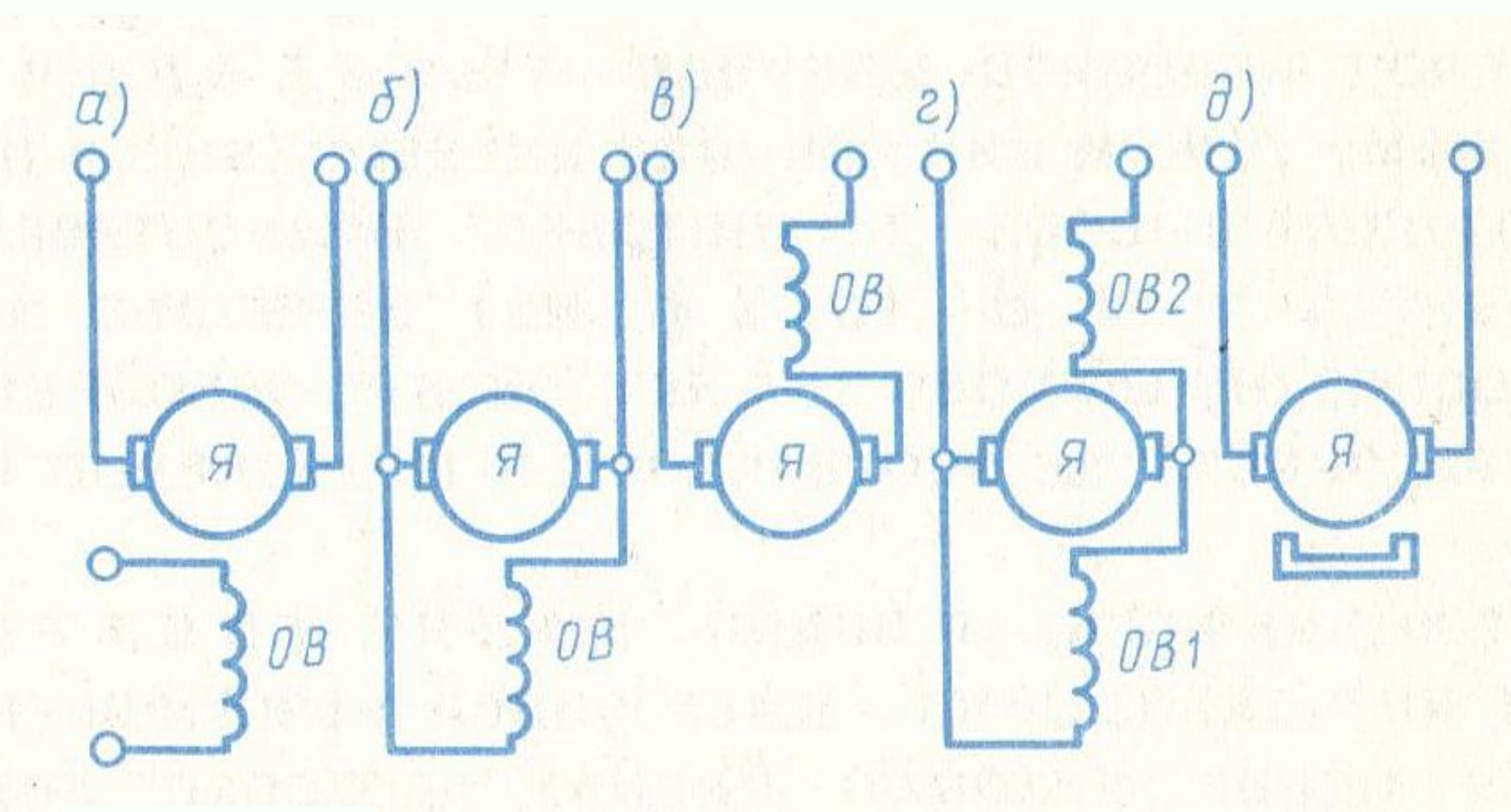


Рис. 11. Способы возбуждения машин постоянного тока

Генераторы постоянного тока и их основные характеристики

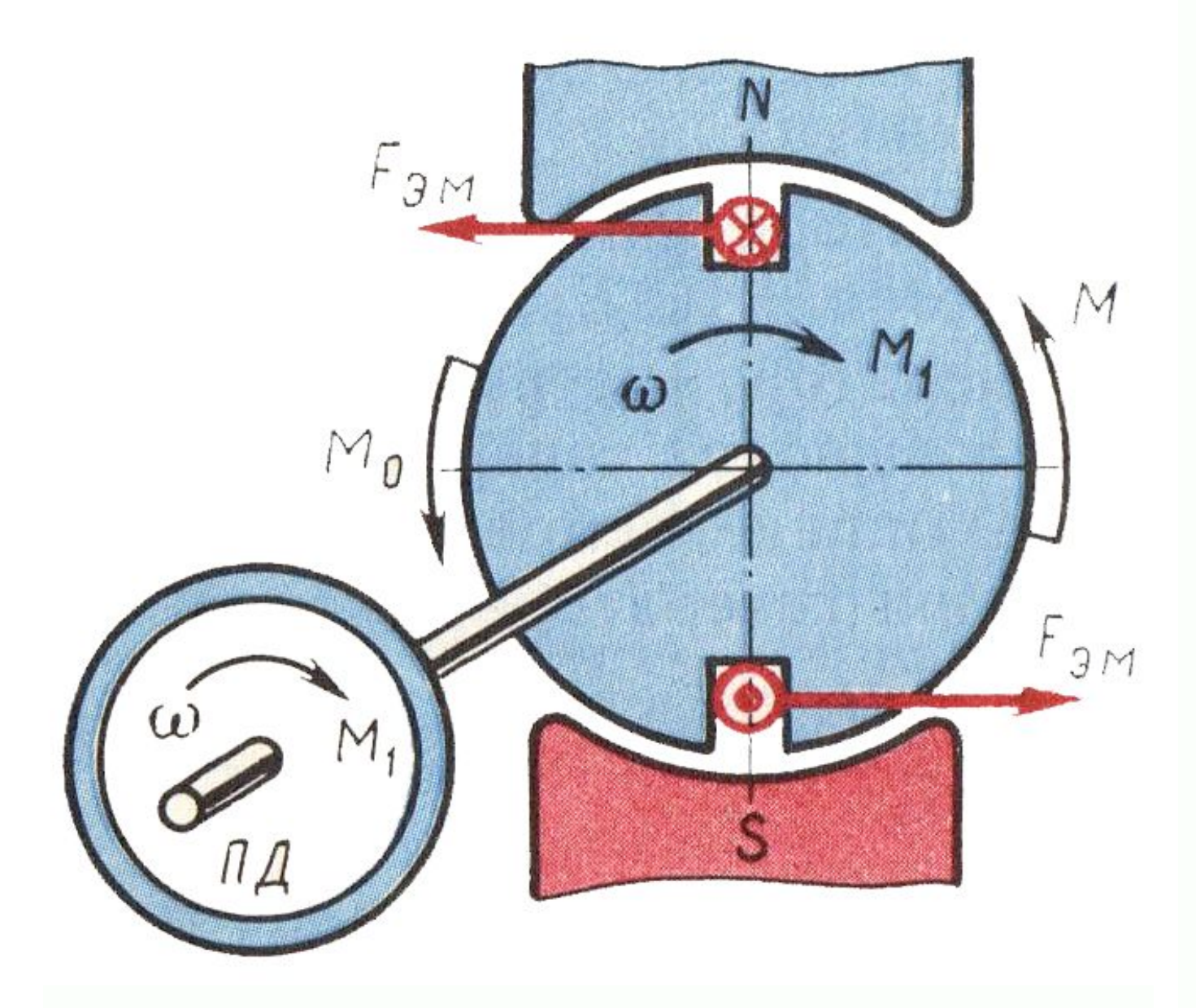


Рис. 12. Моменты, действующие в генераторе постоянного тока

Уравнение мощностей для генератора постоянного тока:

$$P_1 = P_2 + P_0 + P_{9a} + P_{9.B}$$
 (11)

Следовательно, механическая мощность, развиваемая приводным двигателем P_1 , преобразуется в генераторе в полезную электрическую мощность P_2 , передаваемую нагрузке, и мощность, затрачиваемую на покрытие потерь $(P_0 + P_{3a} + P_{3b})$.

Генератор независимого возбуждения

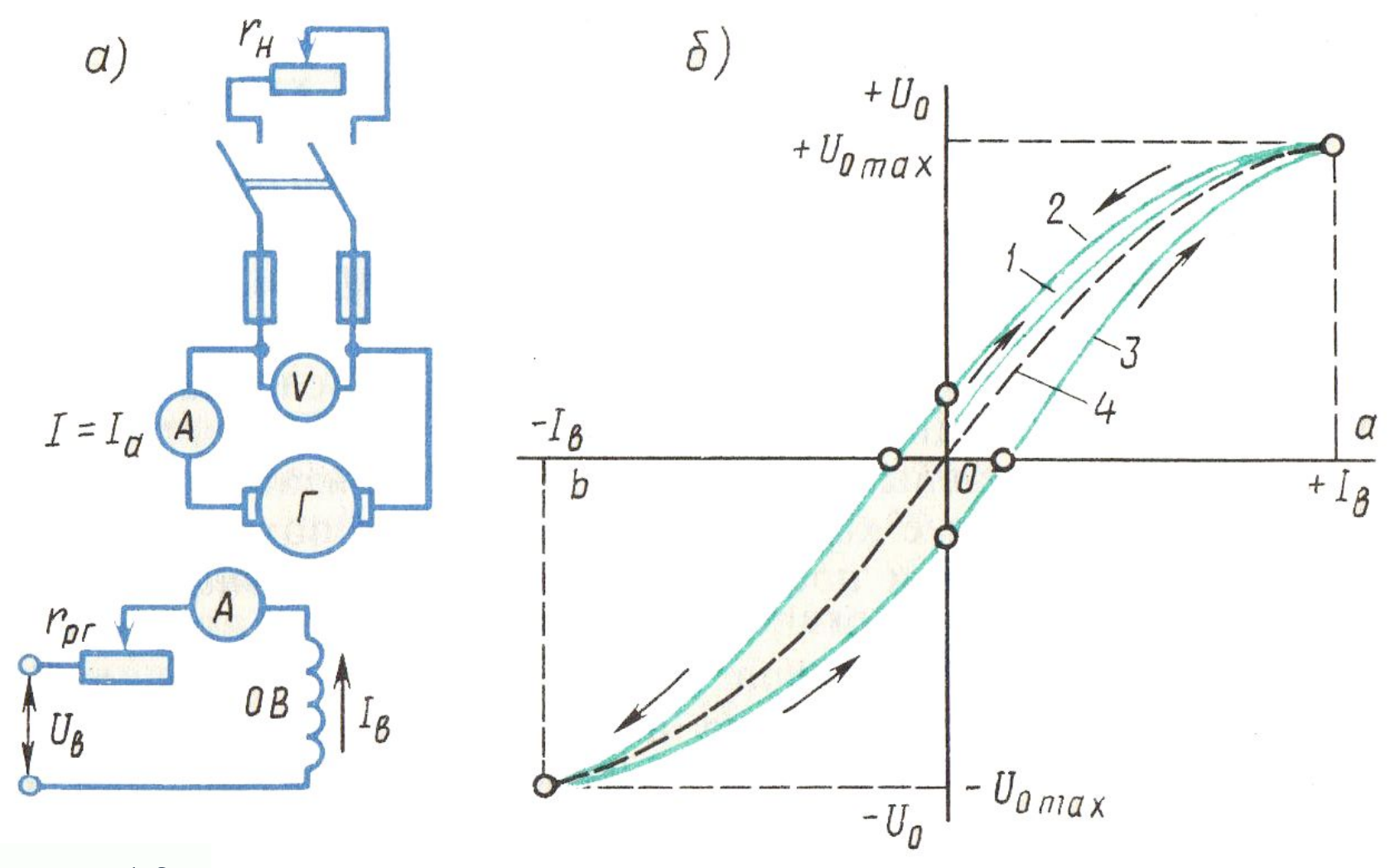


Рис. 13. Принципиальная схема (а) и характеристики х.х. (б) генератора независимого возбуждения

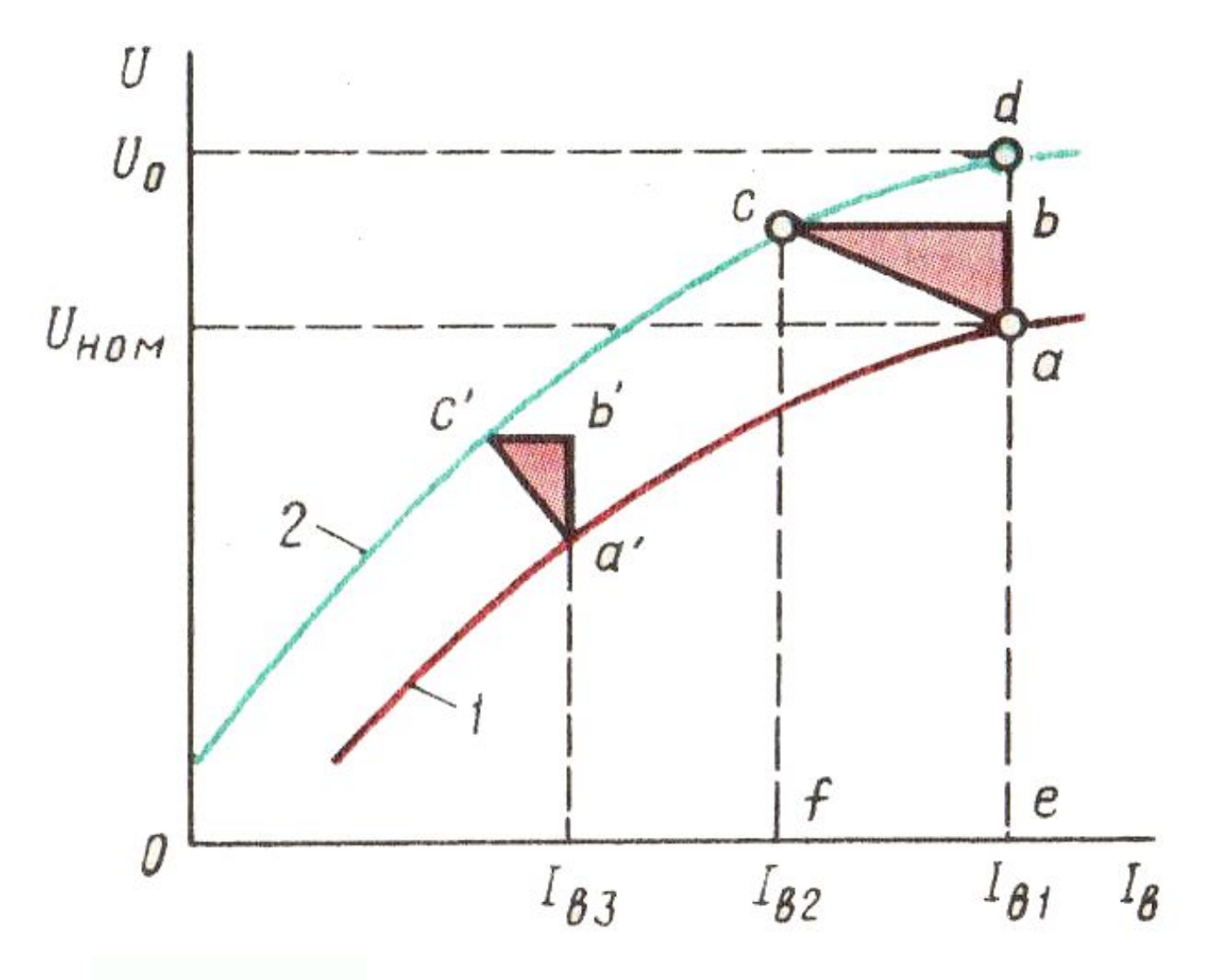


Рис. 14. Нагрузочная характеристика генератора независимого возбуждения

Внешняя характеристика генератора.

Номинальное изменение напряжения генератора при сбросе нагрузки:

$$\Delta U_{\text{HOM}} = \frac{U_0 - U_{\text{HOM}}}{U_{\text{HOM}}} \cdot 100\%.$$
 (12)

Обычно для генератора независимого возбуждения $\varDelta U_{_{\mathrm{HOM}}} = 5 \div 10\%$.

Регулировочная характеристика генератора.

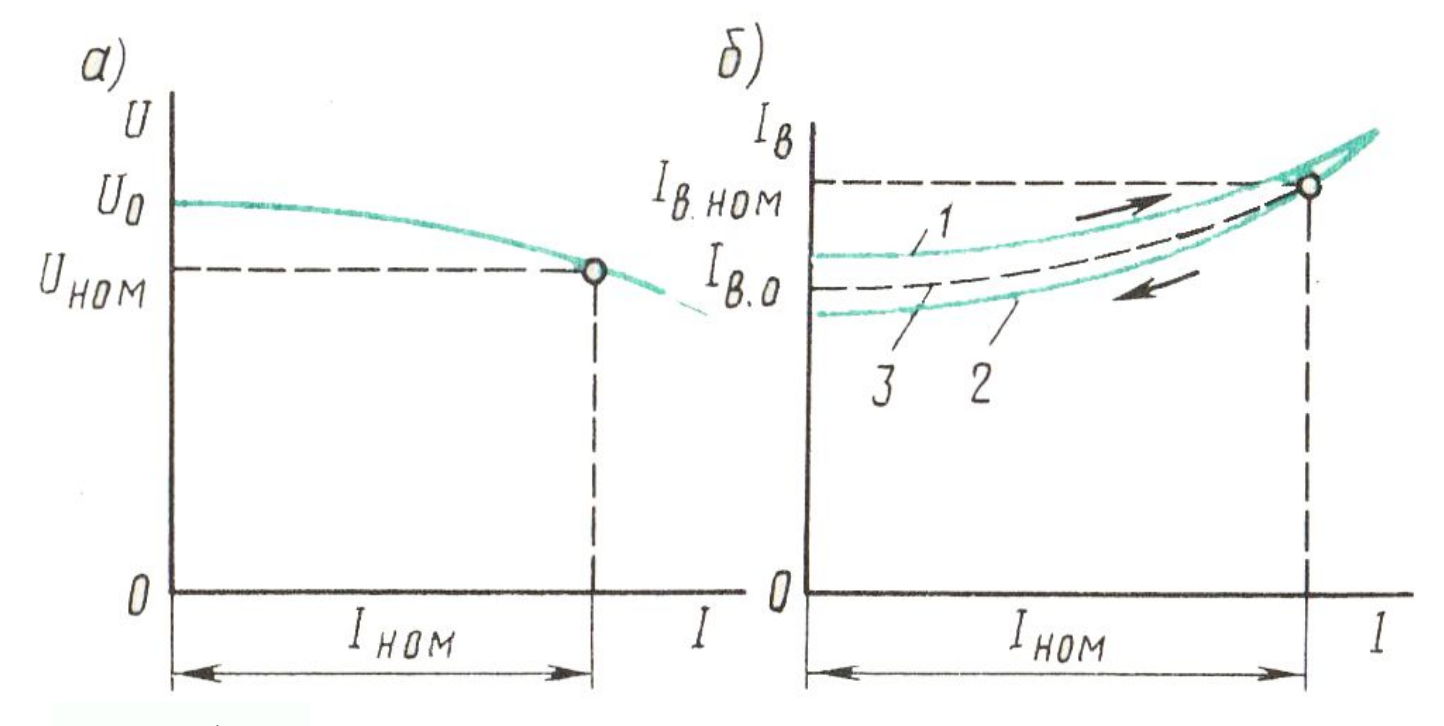


Рис. 15. Внешняя (a) и регулировочная (б) характеристики генератора независимого возбуждения

Генератор параллельного возбуждения

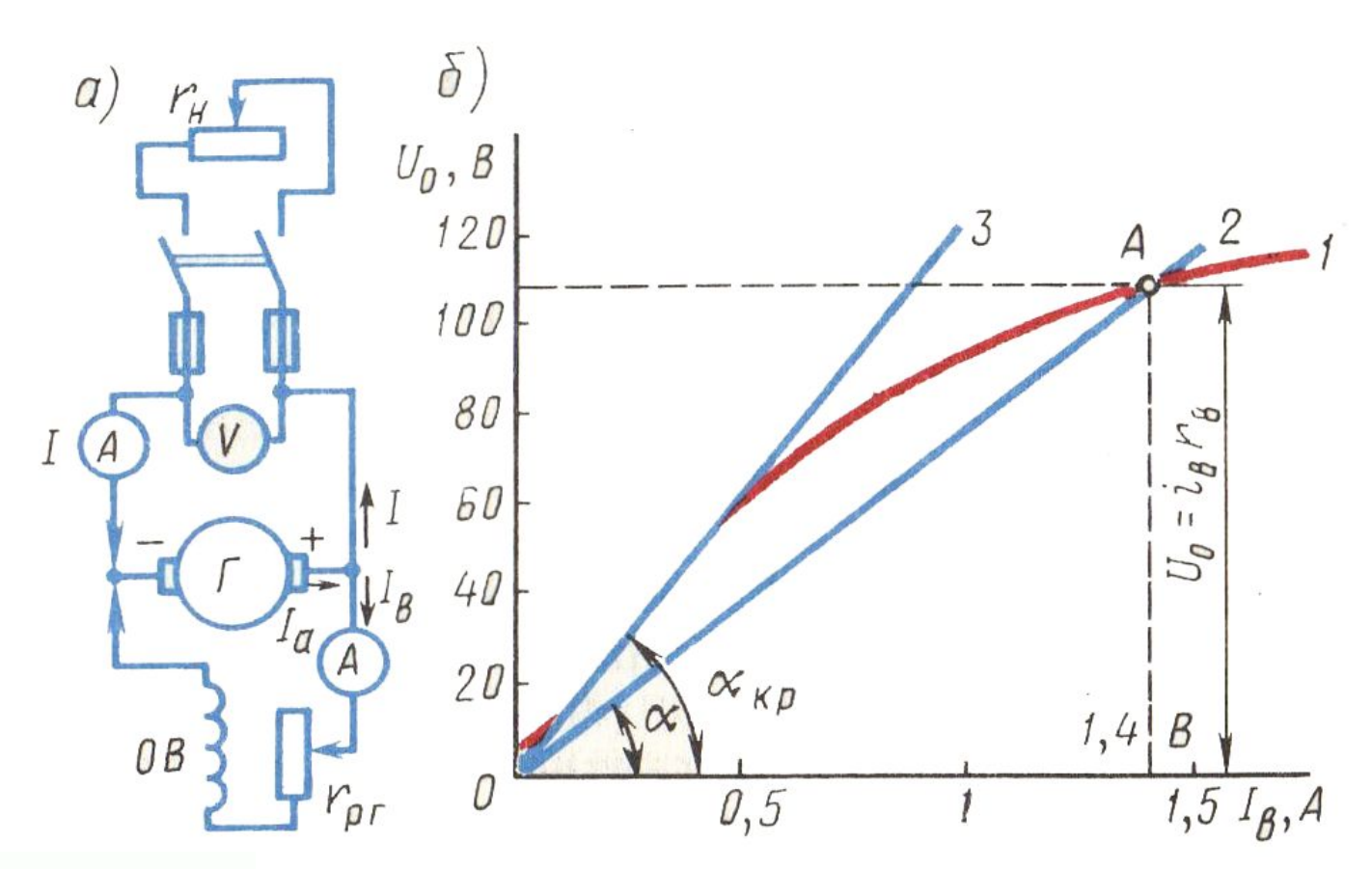


Рис. 16. Принципиальная схема (a) и характеристика х. х. (б) генератора параллельного возбуждения

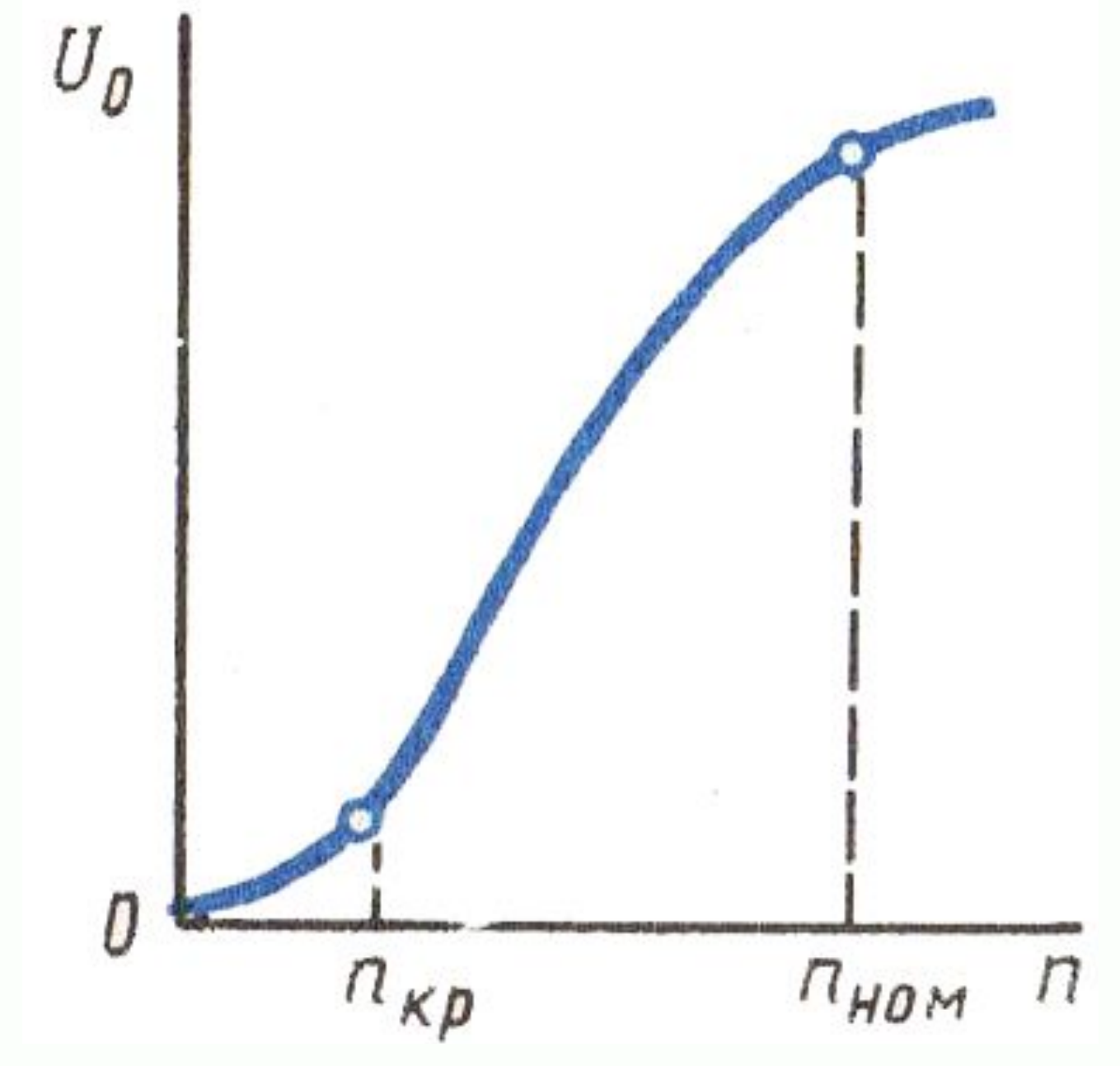


Рис. 17. Характеристика самовозбуждения

Внешняя характеристика генератора параллельного возбуждения *1* (рис. 18) менее жесткая, чем у генератора независимого возбуждения.

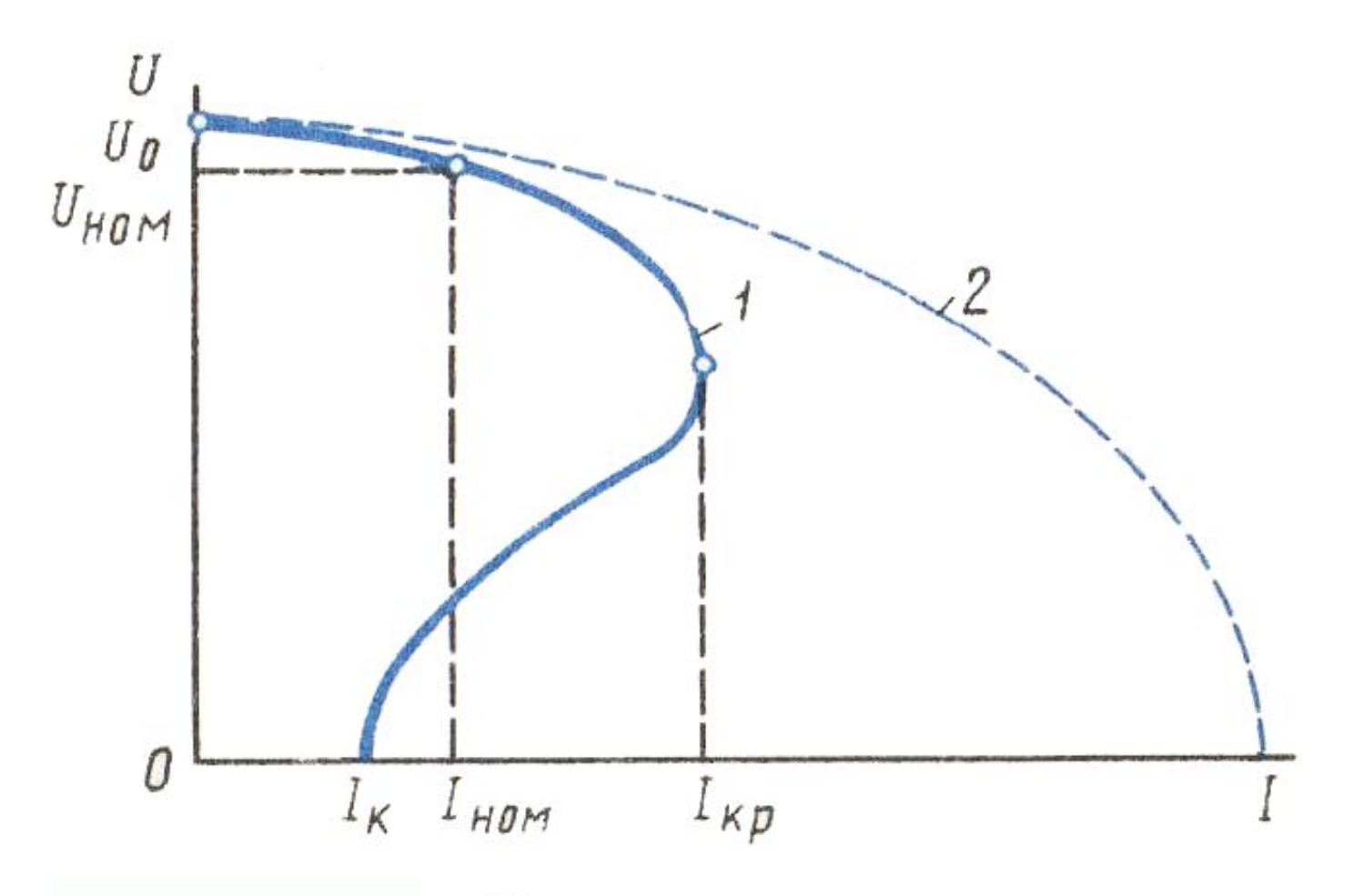
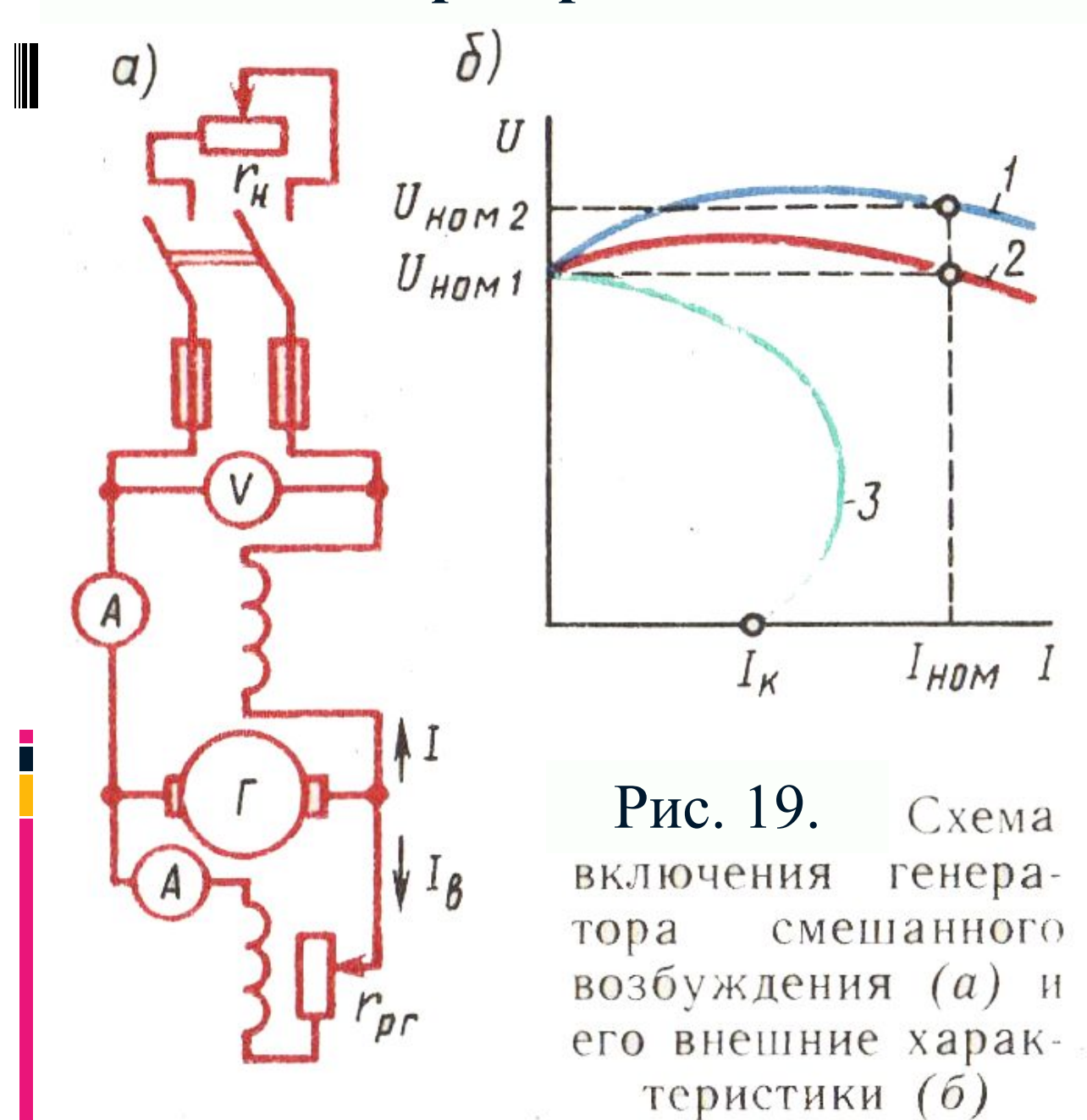


Рис. 18. Внешняя характеристика генератора параллельного возбуждения

Генератор смешанного возбуждения



Коллекторные двигатели Основные понятия

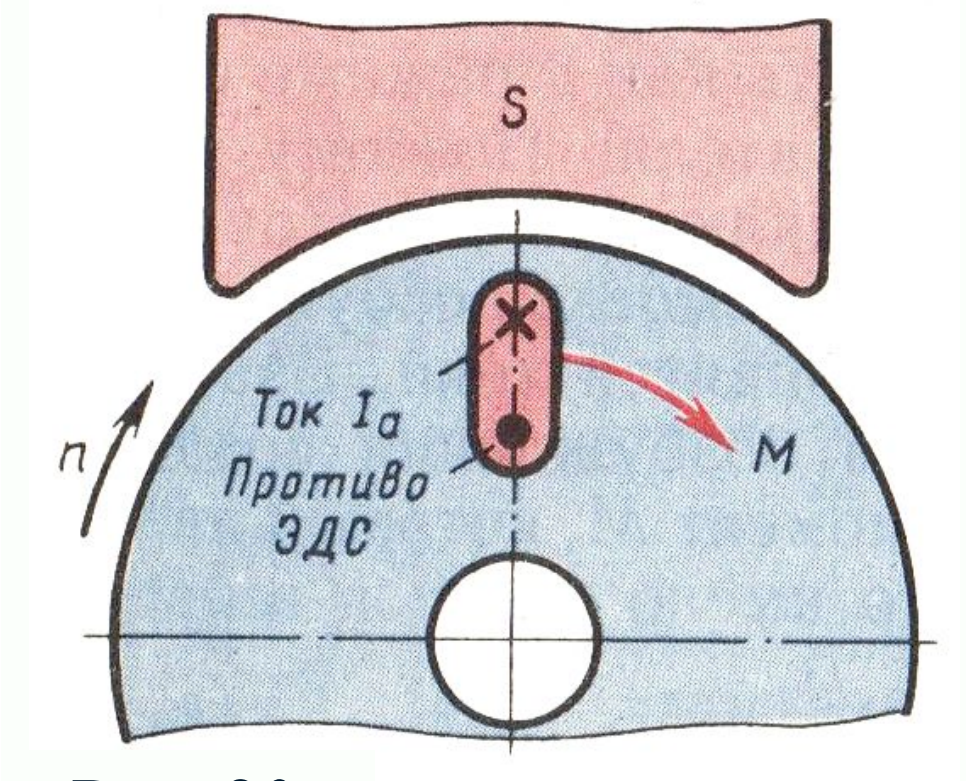


Рис. 20. Направление противо-ЭДС в обмотке якоря двигателя

Для двигателя, работающего с постоянной частотой вращения,

$$U = E_a + I_a \Sigma r \quad (13)$$

Уравнение мощности для цепи якоря:

$$UI_a = I_a^2 \Sigma r + E_a I_a$$
, (14)

$$UI_a = M\omega + I_a^2 \Sigma r.$$
 (15)

Анализ этого уравнения показывает, что с увеличением нагрузки на вал двигателя, т. е. с увеличением электромагнитного момента M, возрастает мощность в цепи обмотки якоря UI_a , т. е. мощность на входе двигателя. Но так как напряжение, подводимое к двигателю, поддерживается неизменным (U = const), то увеличение нагрузки двигателя сопровождается ростом тока в обмотке якоря I_a .

В соответствии с формулой ЭДС $E_{\rm a} = c_{\rm e} \Phi n$ частота вращения двигателя (об/мин)

$$n = E_a/(c_e \Phi)$$
. (16)

Подставив значение E_{a} из (29.1), получим (об/мин)

$$n = \frac{U - I_a \Sigma r}{c_e \Phi}, (17)$$

т. е. частота вращения двигателя прямо пропорциональна напряжению и обратно пропорциональна магнитному потоку возбуждения.

Пуск двигателя

Пусковой ток

$$I'_a = U/\Sigma r.$$
 (18)

Пусковой ток якоря при полном сопротивлении пускового реостата

$$I_{\Pi} = \frac{U - E_a}{\Sigma r + r_{\Pi,p}}. (19)$$

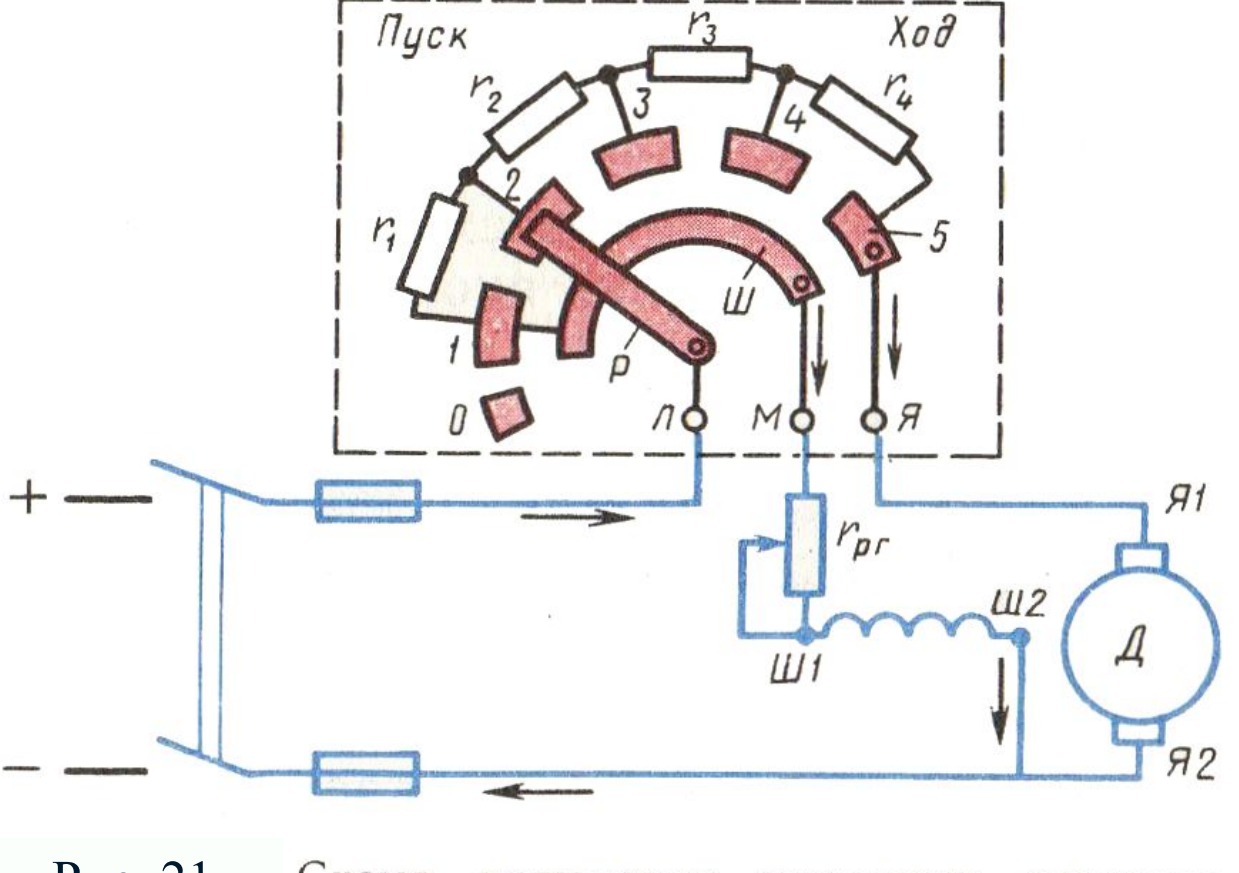


Рис. 21. Схема включения пускового реостата

Двигатель параллельного возбуждения

Номинальное изменение частоты вращения:

$$\Delta n_{_{\mathrm{HOM}}} = \frac{n_0 - n_{_{\mathrm{HOM}}}}{n_{_{\mathrm{HOM}}}} \cdot 100, \quad (20)$$

Обычно для двигателей параллельного возбуждения $\Delta n_{_{\rm HOM}} = 2 \div 8\%$

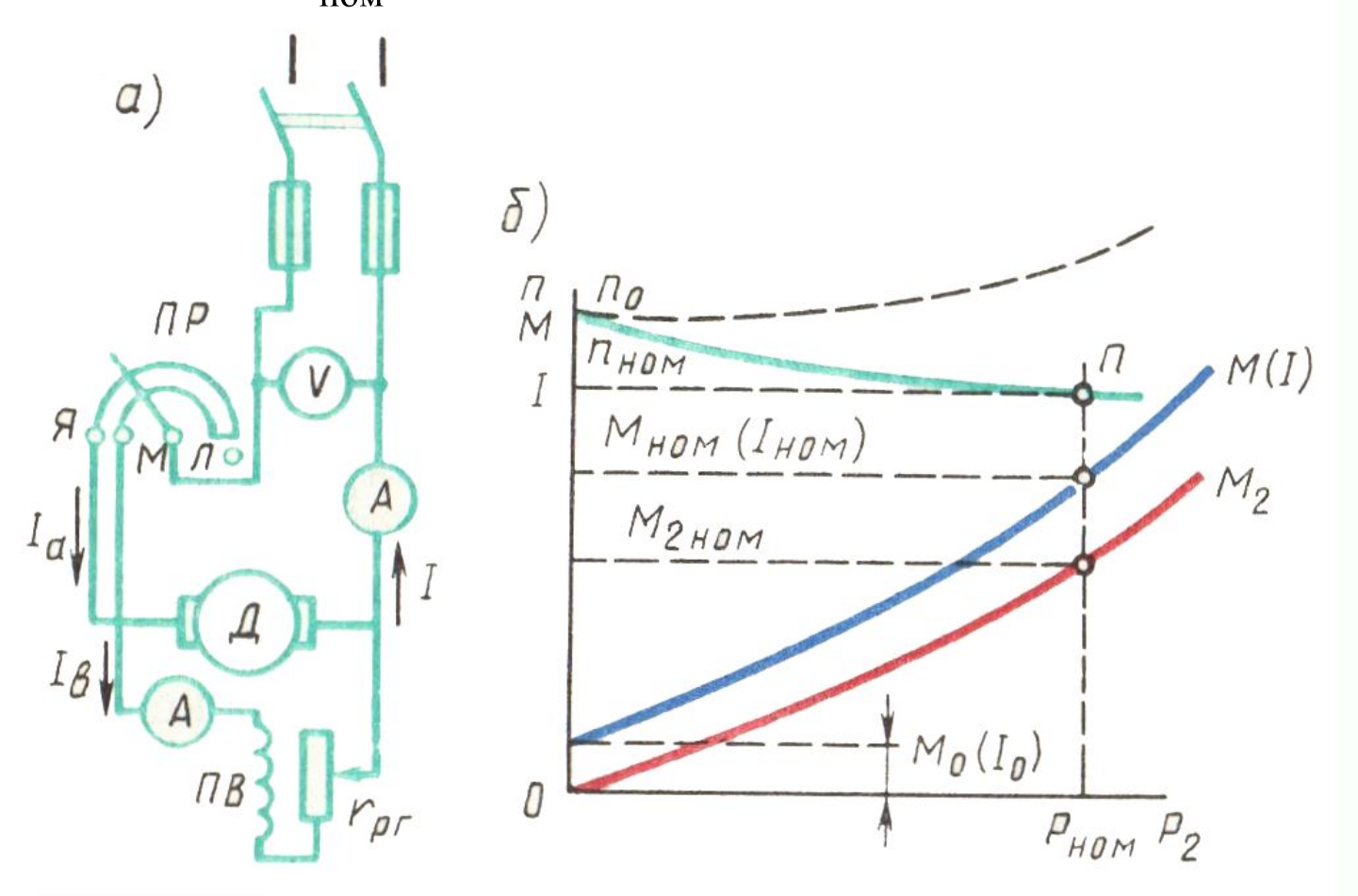


Рис. 22. Схема двигателя параллельного возбуждения (a) и его рабочие характеристики (б)

Для получения аналитического выражения механической характеристики f(M) преобразуем выражение (29.5):

$$n = \frac{U - I_a \Sigma r}{c_e \Phi} = \frac{U}{c_e \Phi} - \frac{I_a \Sigma r}{c_e \Phi}; \quad (21)$$

$$n = \frac{U}{c_e \Phi} - \frac{M \Sigma r}{c_e c_M \Phi^2} = n_0 - \Delta n,$$
 (22)

Ниже представлены механические характеристики двигателя параллельного возбуждения:



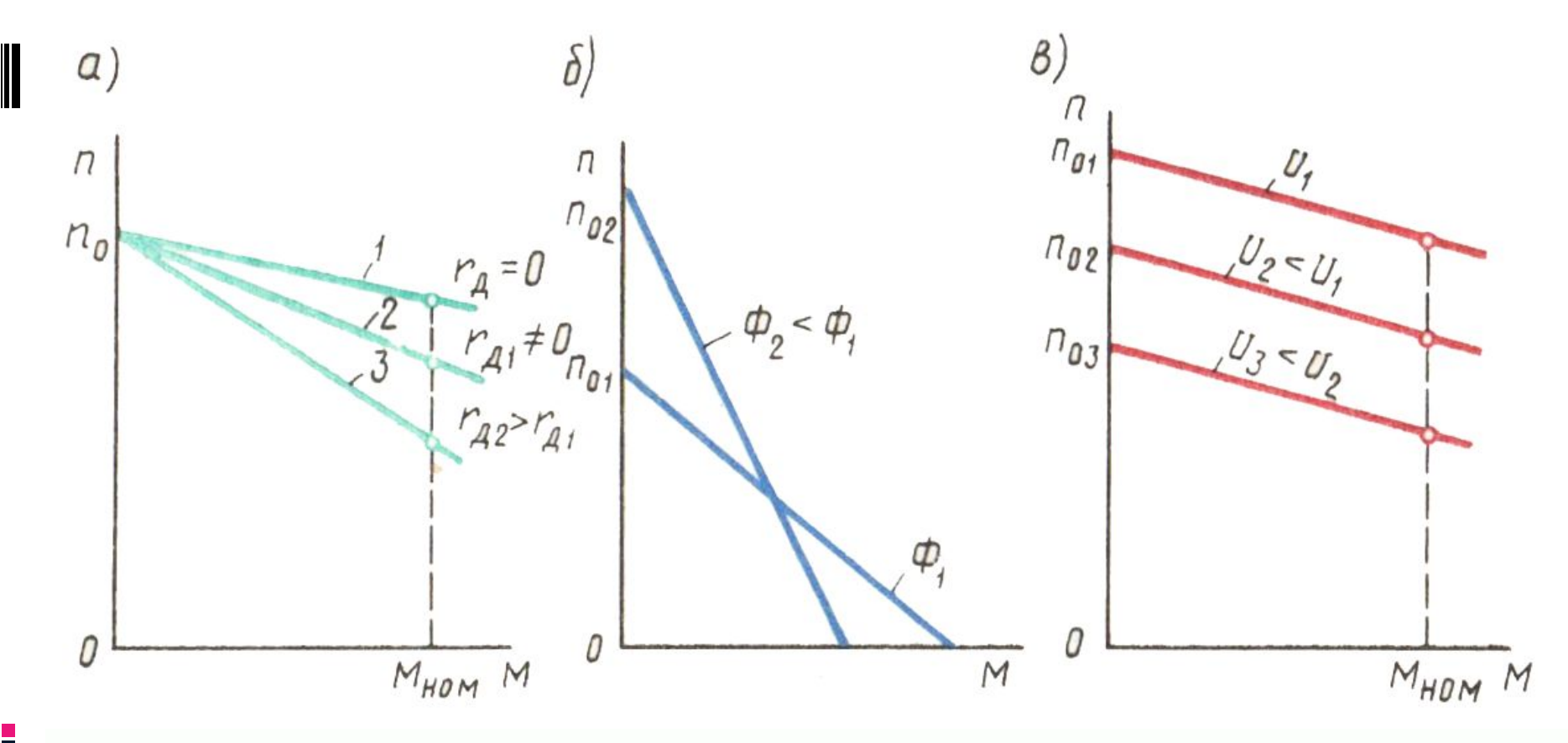


Рис. 23. Механические характеристики двигателя параллельного возбуждения:

а – при введении в цепь якоря добавочного сопротивления;
б – при изменении основного магнитного потока;
в – при изменении напряжения в цепи якоря

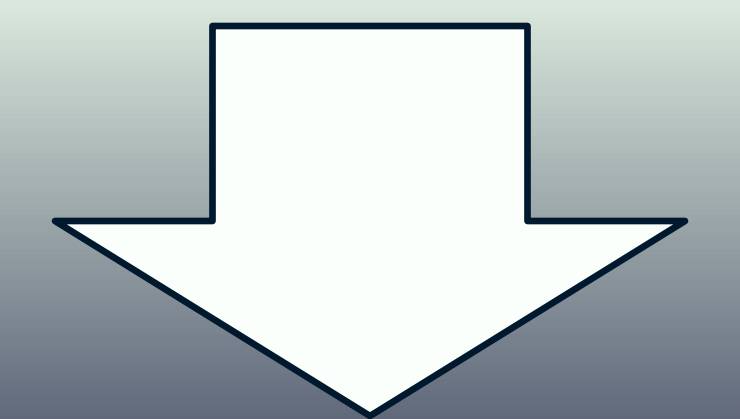
Двигатель последовательного возбуждения

Электромагнитный момент:

$$M = c_M k_{\Phi} I_a I_a = c_M' I_a^2$$
. (23)

Формула частоты вращения

$$n = \frac{U - I_a \Sigma r}{c_e k_{\Phi} I_a} = \frac{U - I_a \Sigma r}{c_e^{'} I_a}. \quad (24)$$



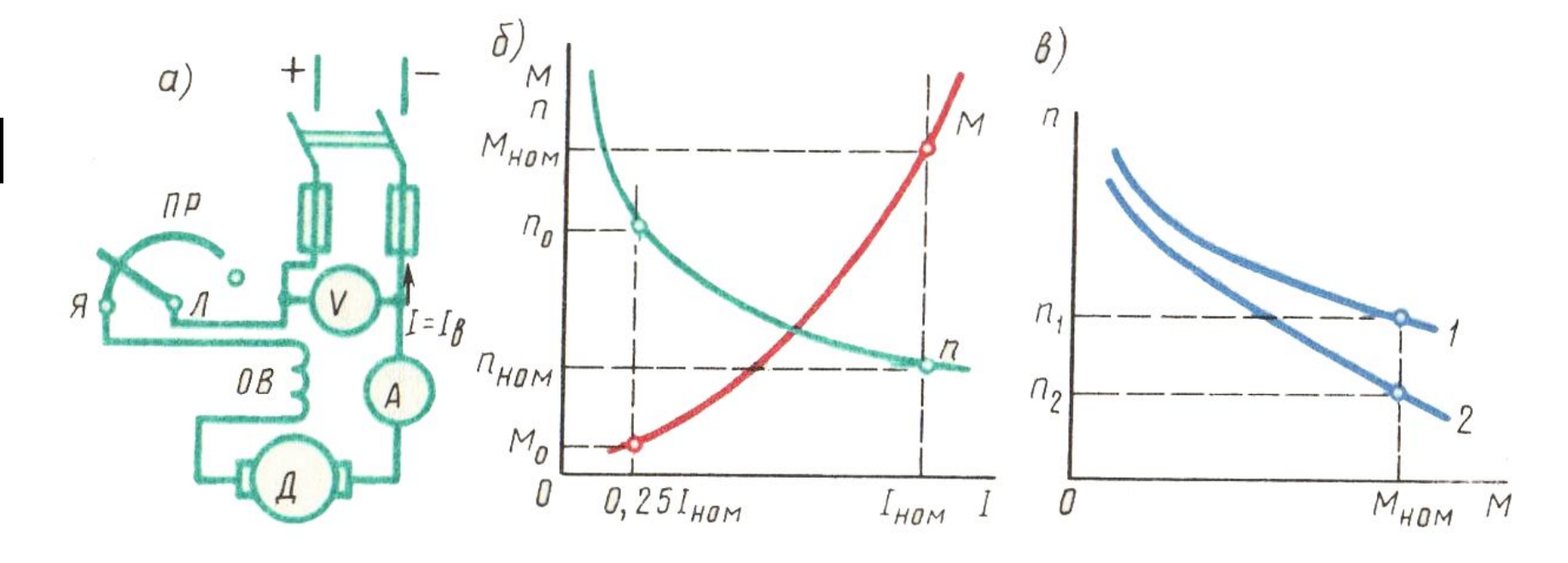


Рис. 24. Двигатель последовательного возбуждения:

а – принципиальная схема;

б – рабочие характеристики;

в – механические характеристики;

1 – естественная характеристика;

2 – искусственная характеристика

Номинальное изменение частоты вращения двигателя последовательного возбуждения

$$\Delta n_{\text{HOM}} = \frac{n_{[0,25]} - n_{\text{HOM}}}{n_{\text{HOM}}} \cdot 100\%, (25)$$

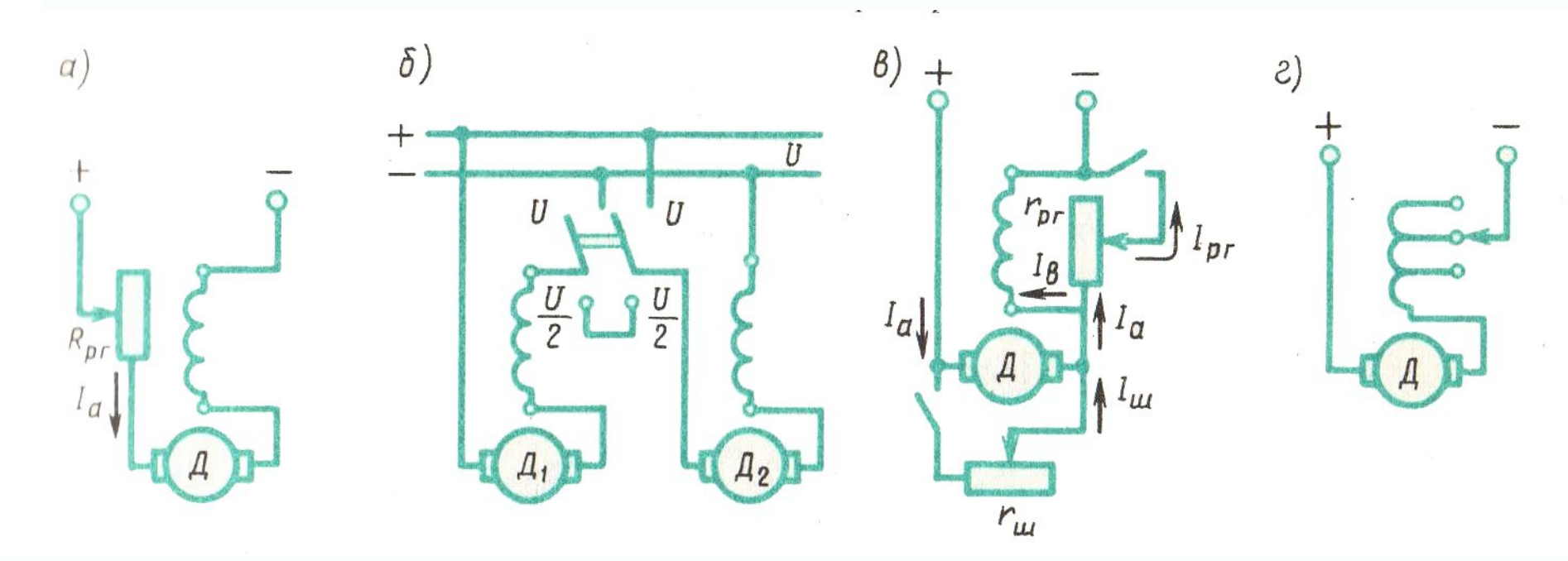


Рис. 25. Регулирование частоты вращения двигателей последовательного возбуждения

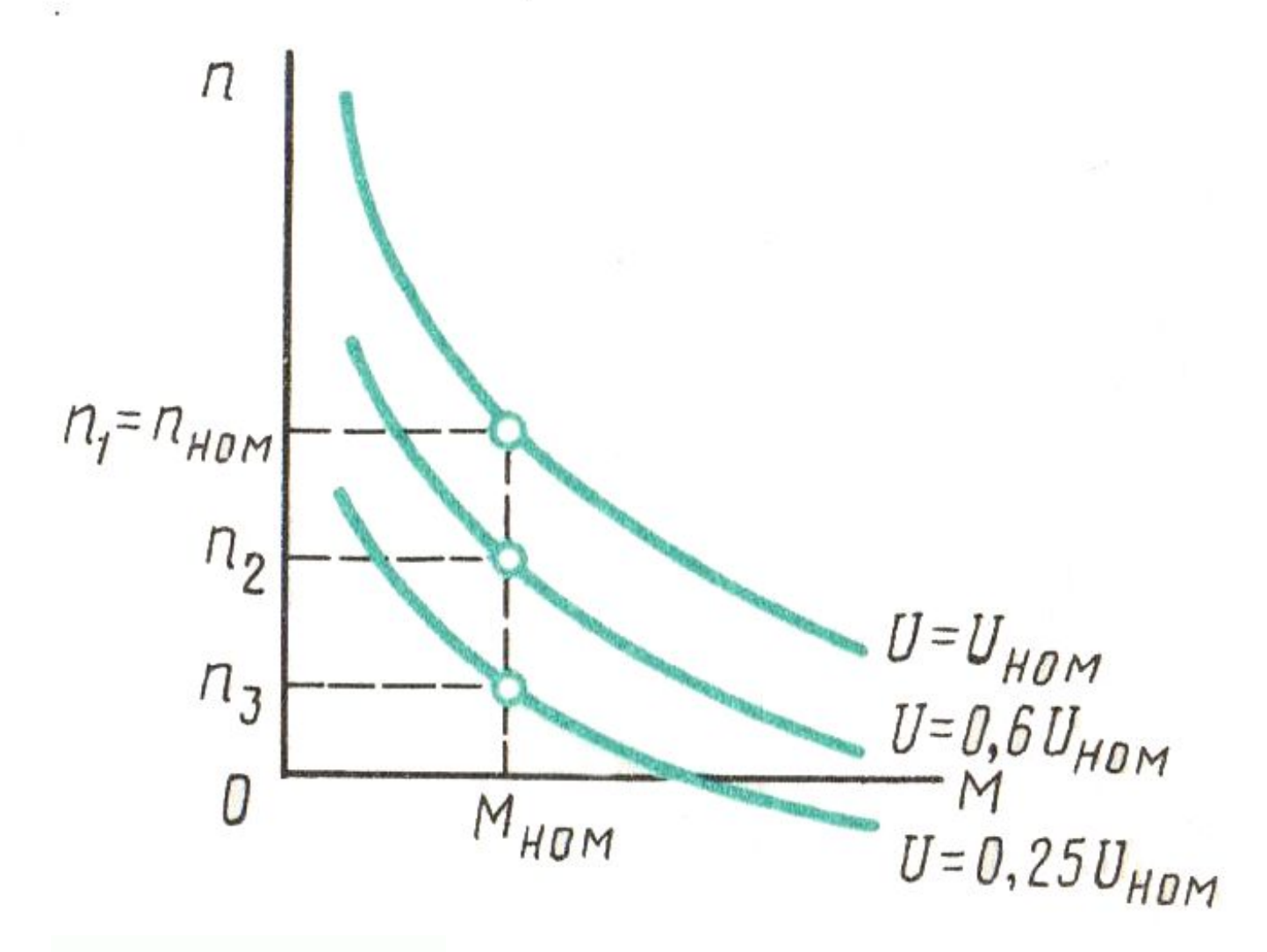


Рис. 26. Механические характеристики двигателя последовательного возбуждения при изменении подводимого напряжения

Двигатель смешанного возбуждения

Частота вращения этого двигателя

$$n = \frac{U - I_a \Sigma r}{c_e \left(\Phi_1 \pm \Phi_2\right)}, (26)$$

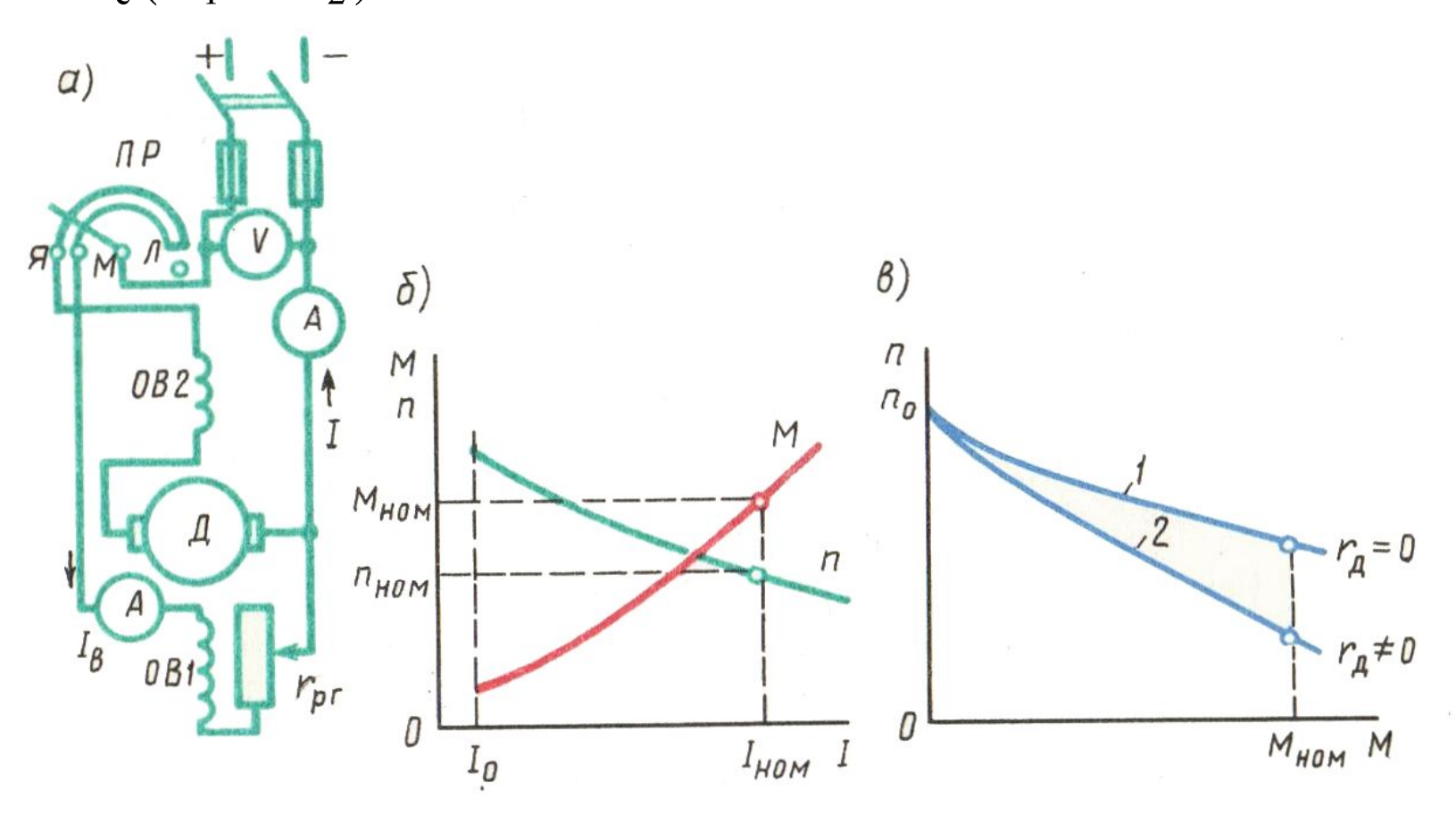


Рис. 26. Схема двигателя смешанного возбуждения (a), его рабочие (b) и механические (b) характеристики

Мощность (Вт) **на выходе машины** (полезная мощность): *для генератора* (электрическая мощность)

$$P_{2reh} = UI;$$
 (27)

для двигателя (механическая мощность)

$$P_{2\pi B} = 0.105 M_2 n.$$
 (28)

Коэффициент полезного действия.

$$\eta = P_2 / P_1$$
. (29)

Определив суммарную мощность вышеперечисленных потерь

$$\Sigma P = P_{M} + P_{Mex} + P_{3.B} + P_{3a} + P_{3ii} + P_{I}, (30)$$

можно подсчитать КПД машины по одной из следующих формул:

$$\eta_{\Gamma} = \frac{P_2}{P_1} = \frac{UI}{UI + \Sigma P} = 1 - \frac{\Sigma P}{UI + \Sigma P}; \qquad (31)$$

для двигателя
$$\eta_{\text{дв}} = \frac{P_2}{P_1} = \frac{\text{UI} - \Sigma P}{\text{UI}} = 1 - \frac{\Sigma P}{\text{UI}}.$$
 (32)

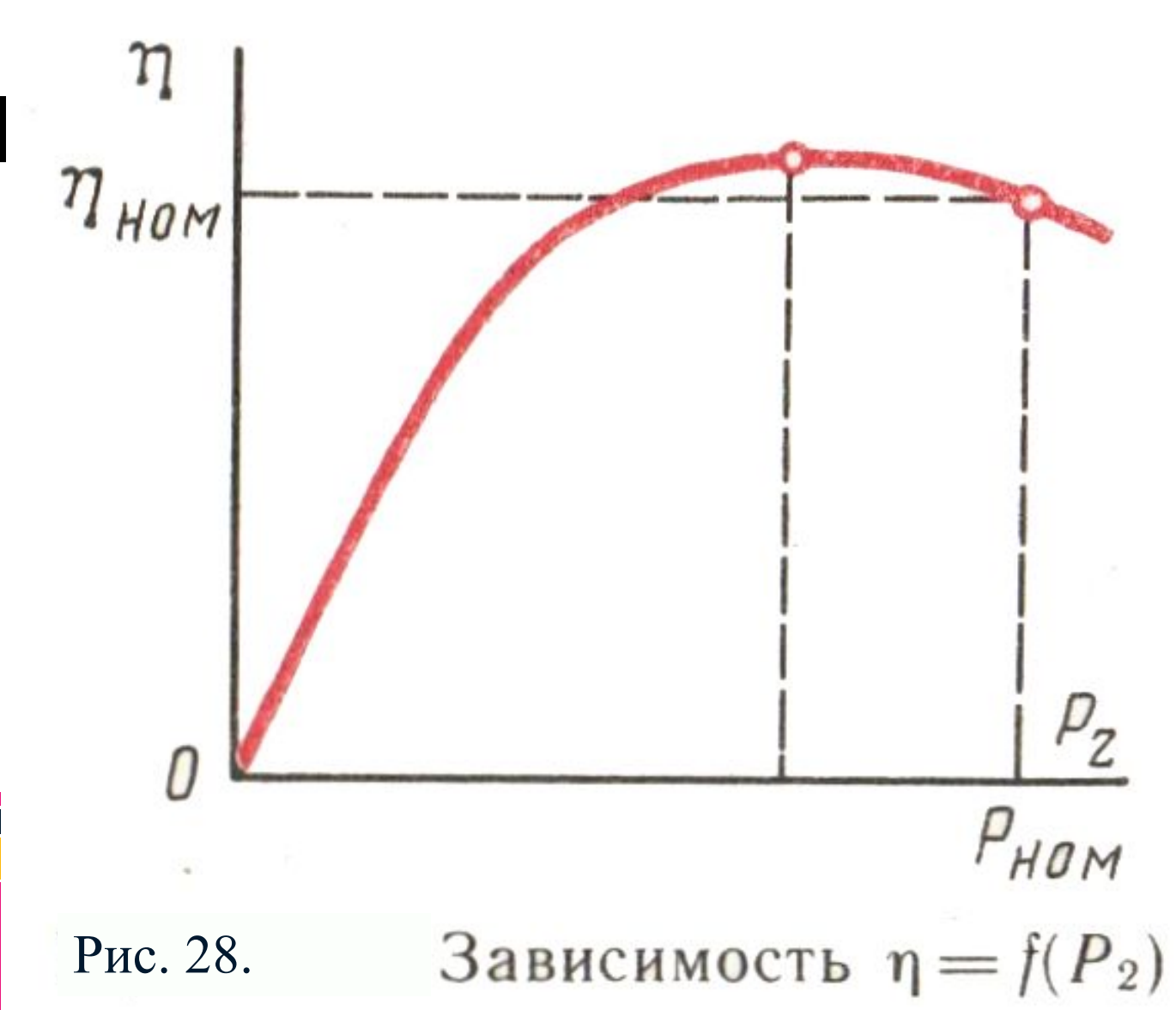


Рис. 28.